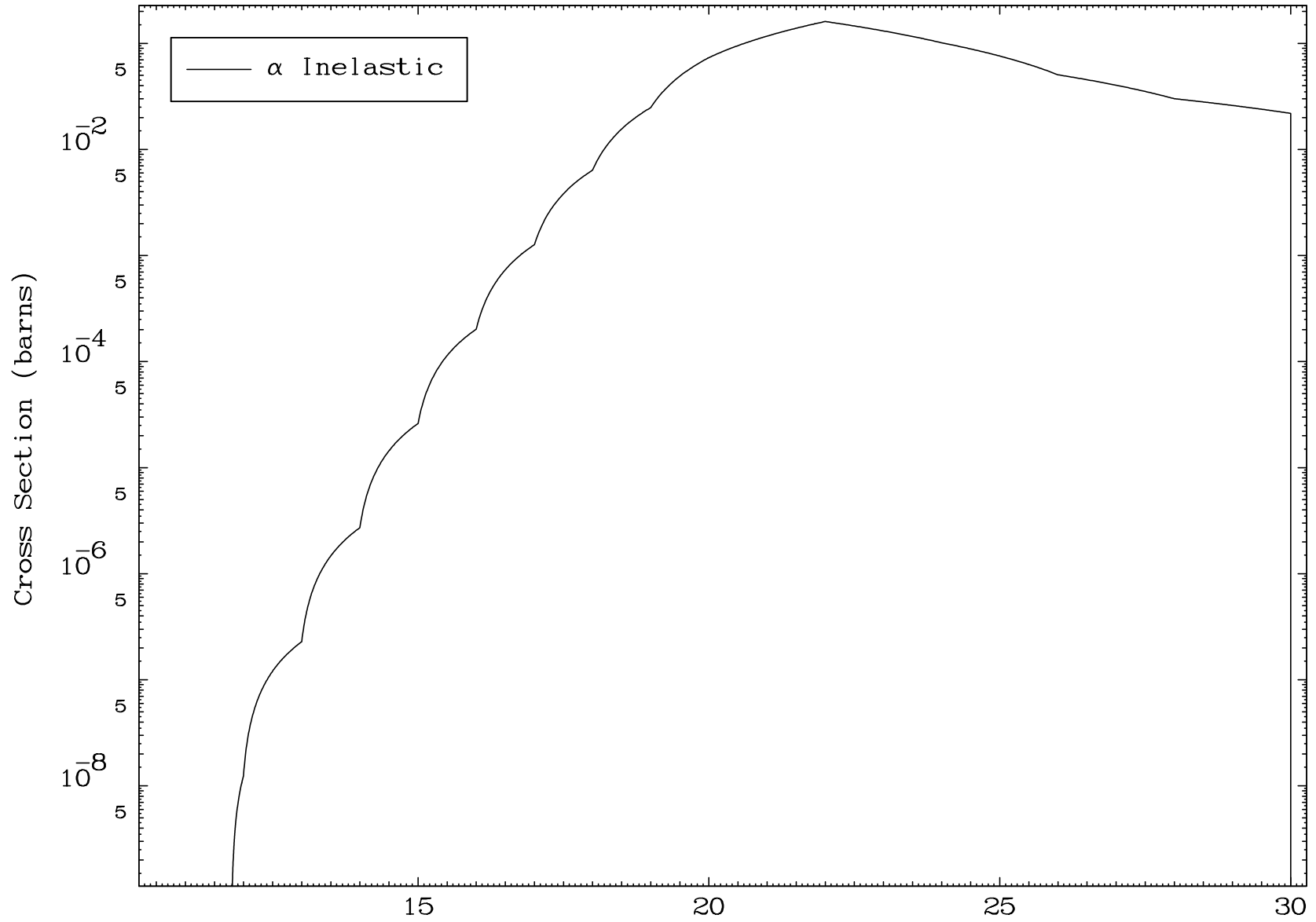


MAT 7910

(α, n') Level
0 Kelvin Cross Sections

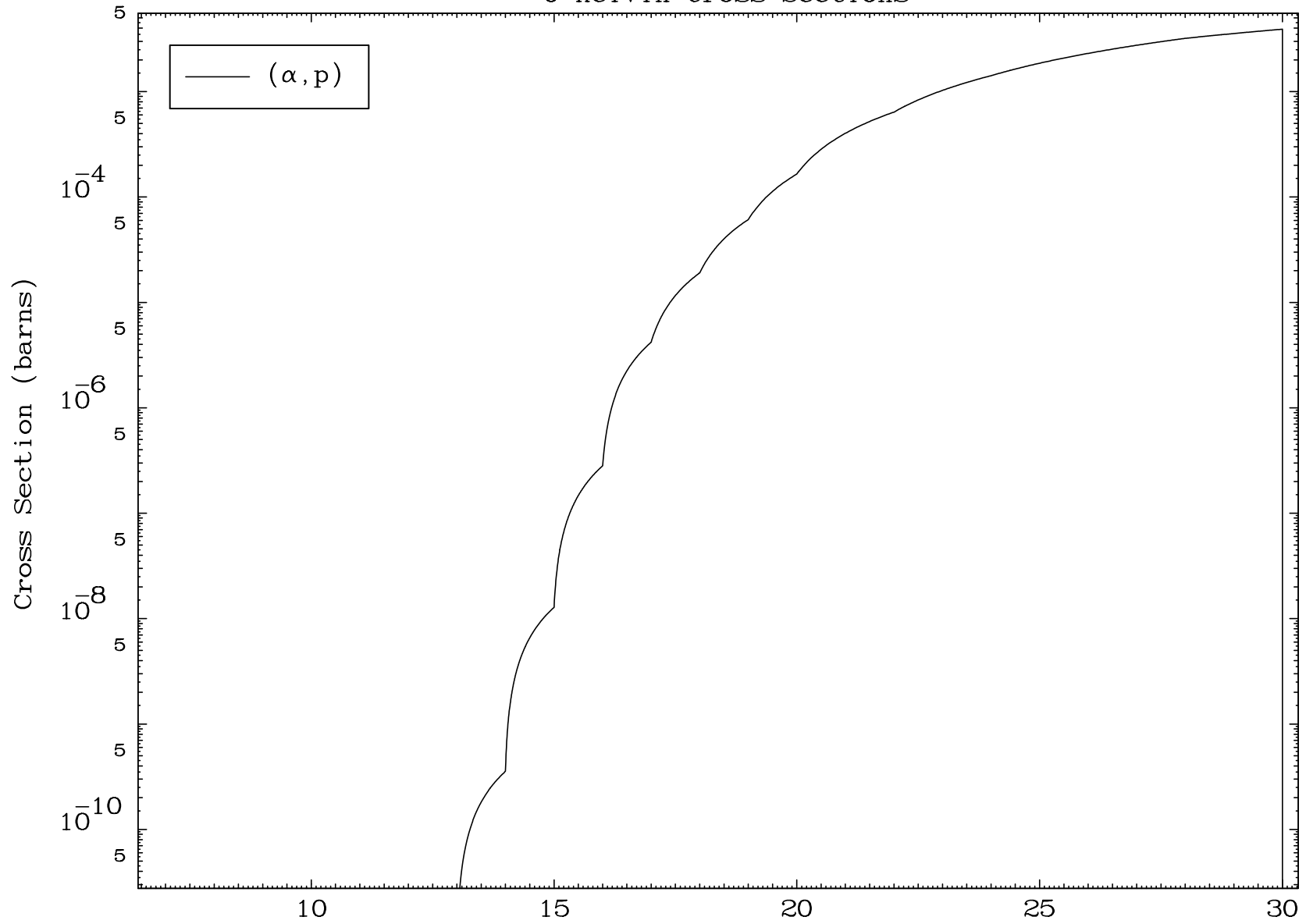
79-Au-192

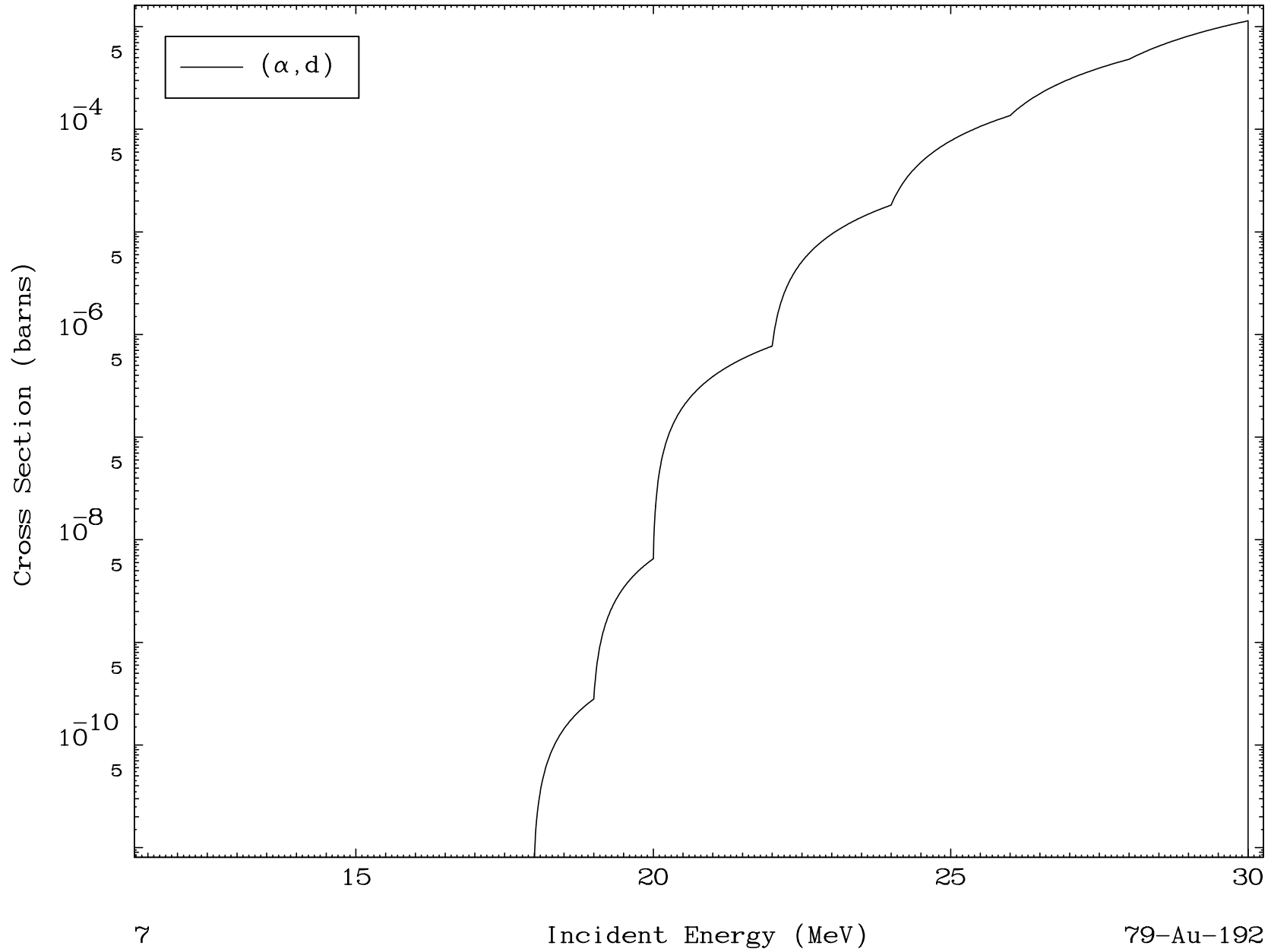


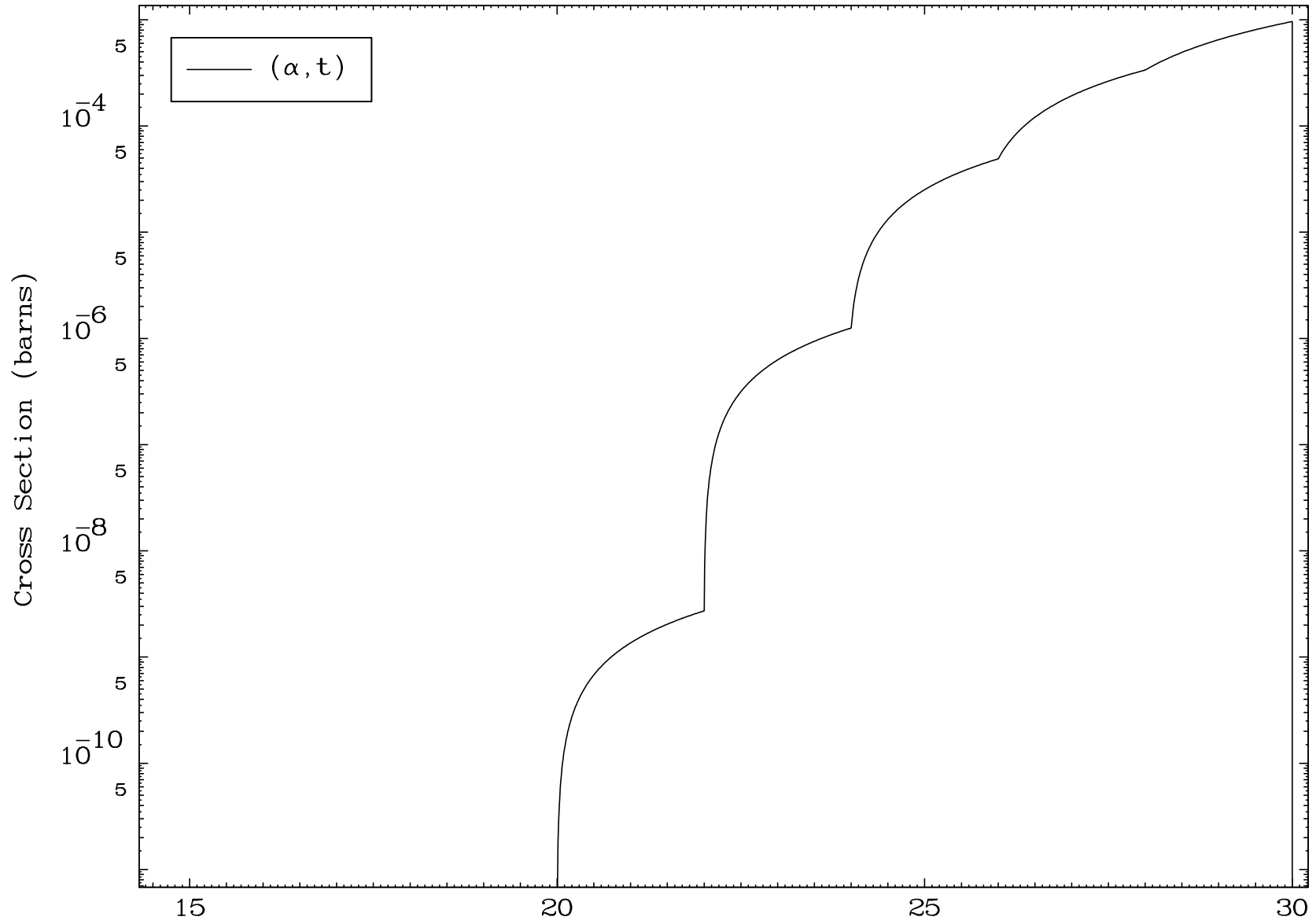
5

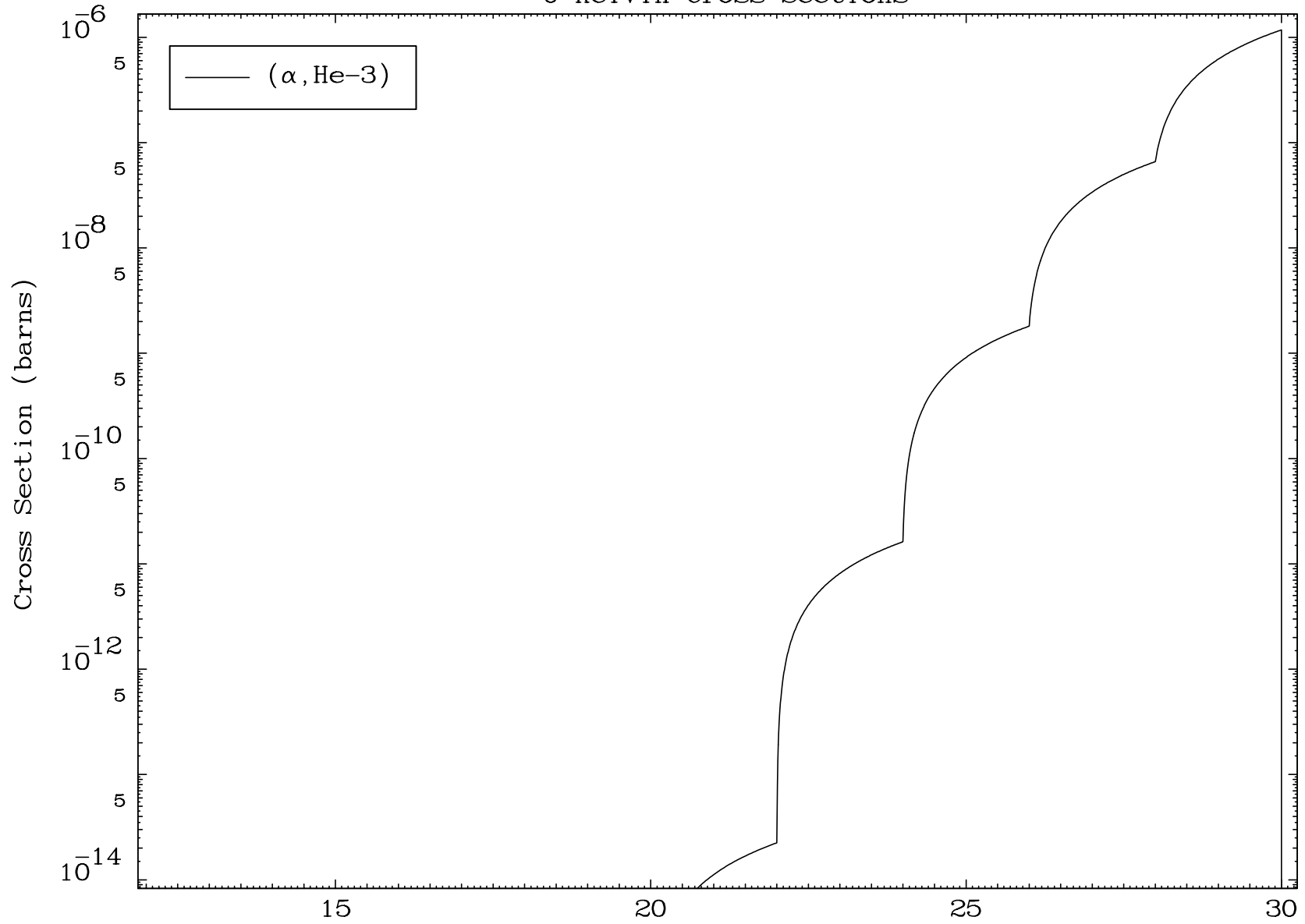
Incident Energy (MeV)

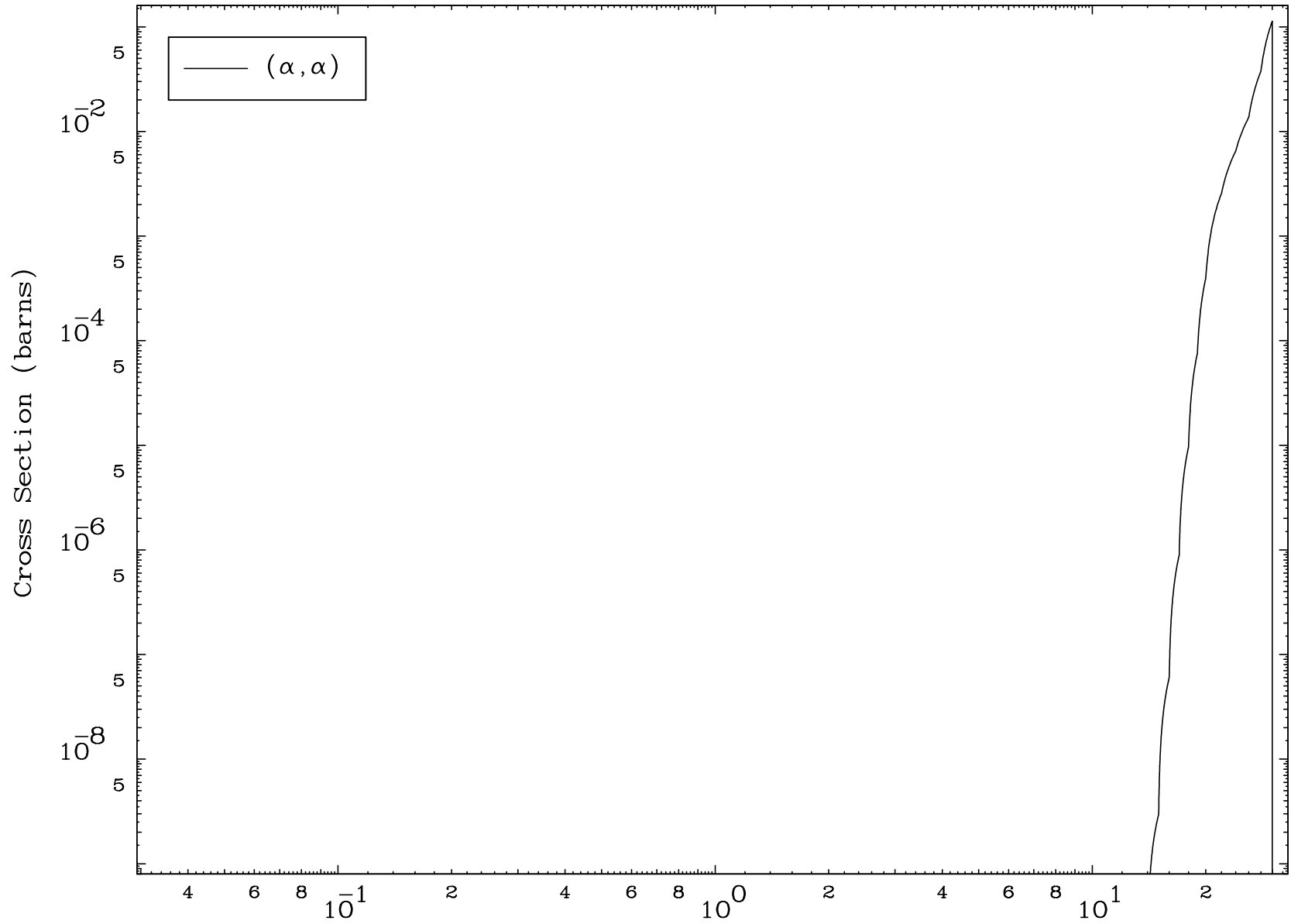
79-Au-192







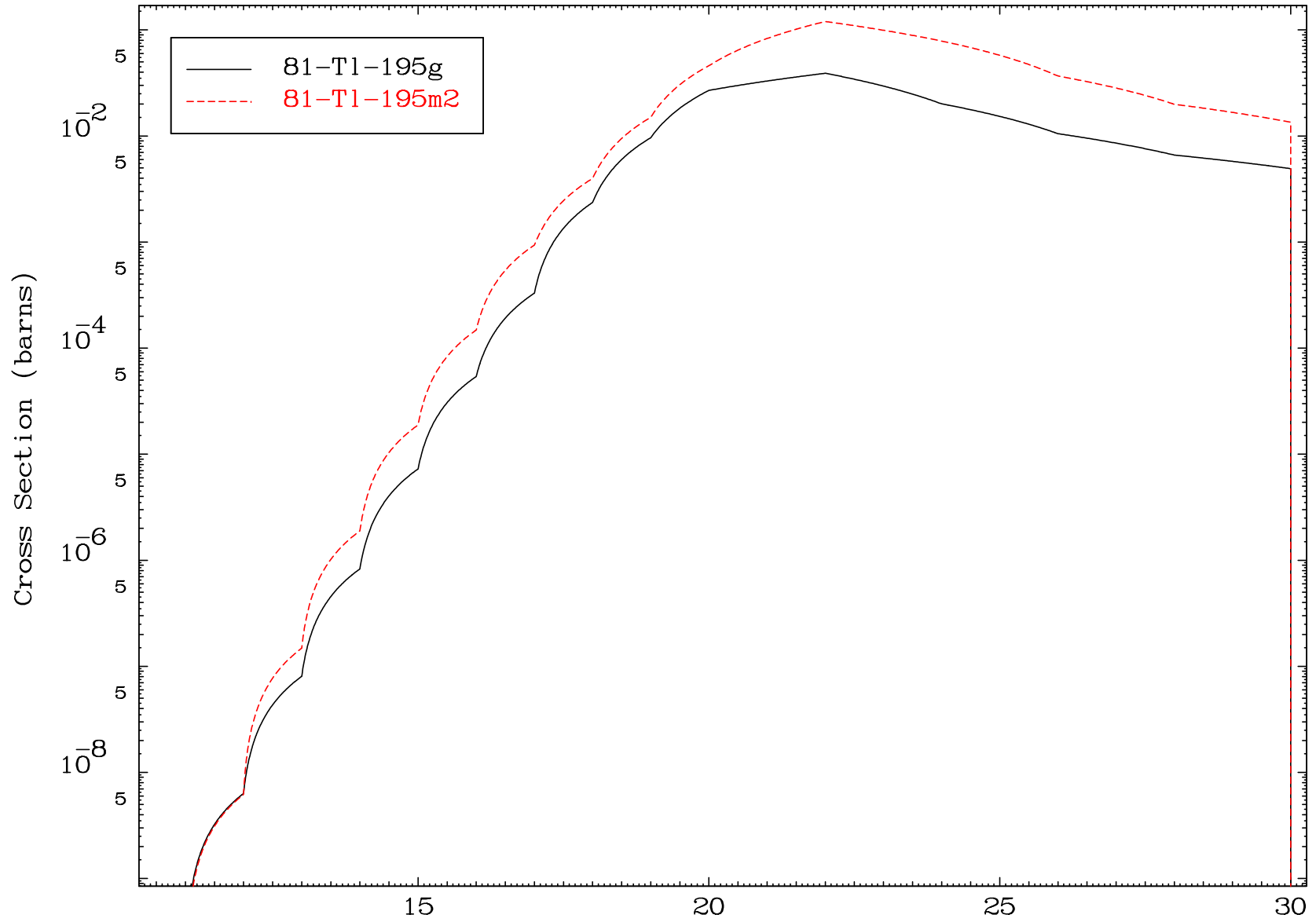




MAT 7910

α Inelastic
Radionuclide Production Cross Section

79-Au-192

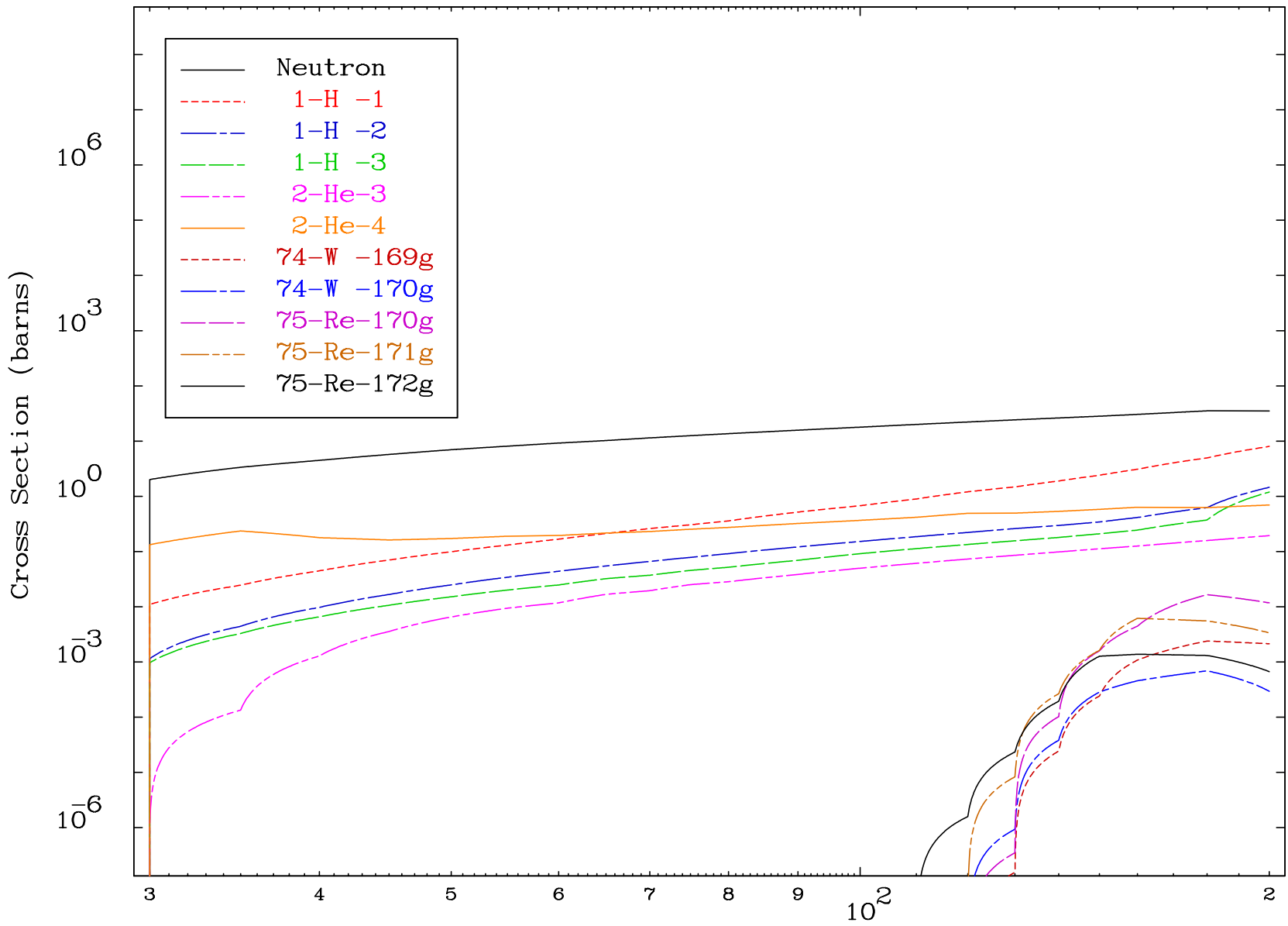


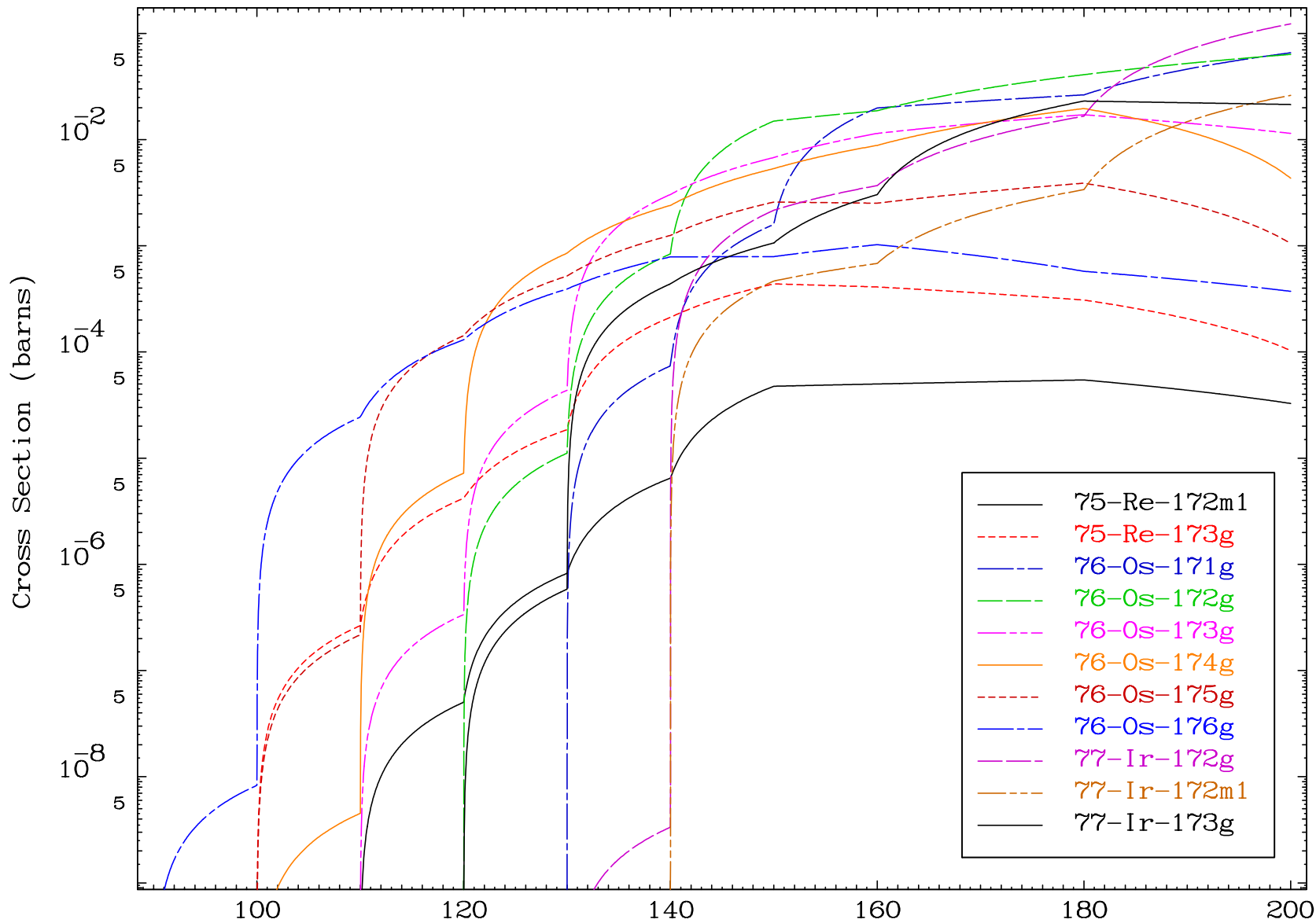
11

Incident Energy (MeV)

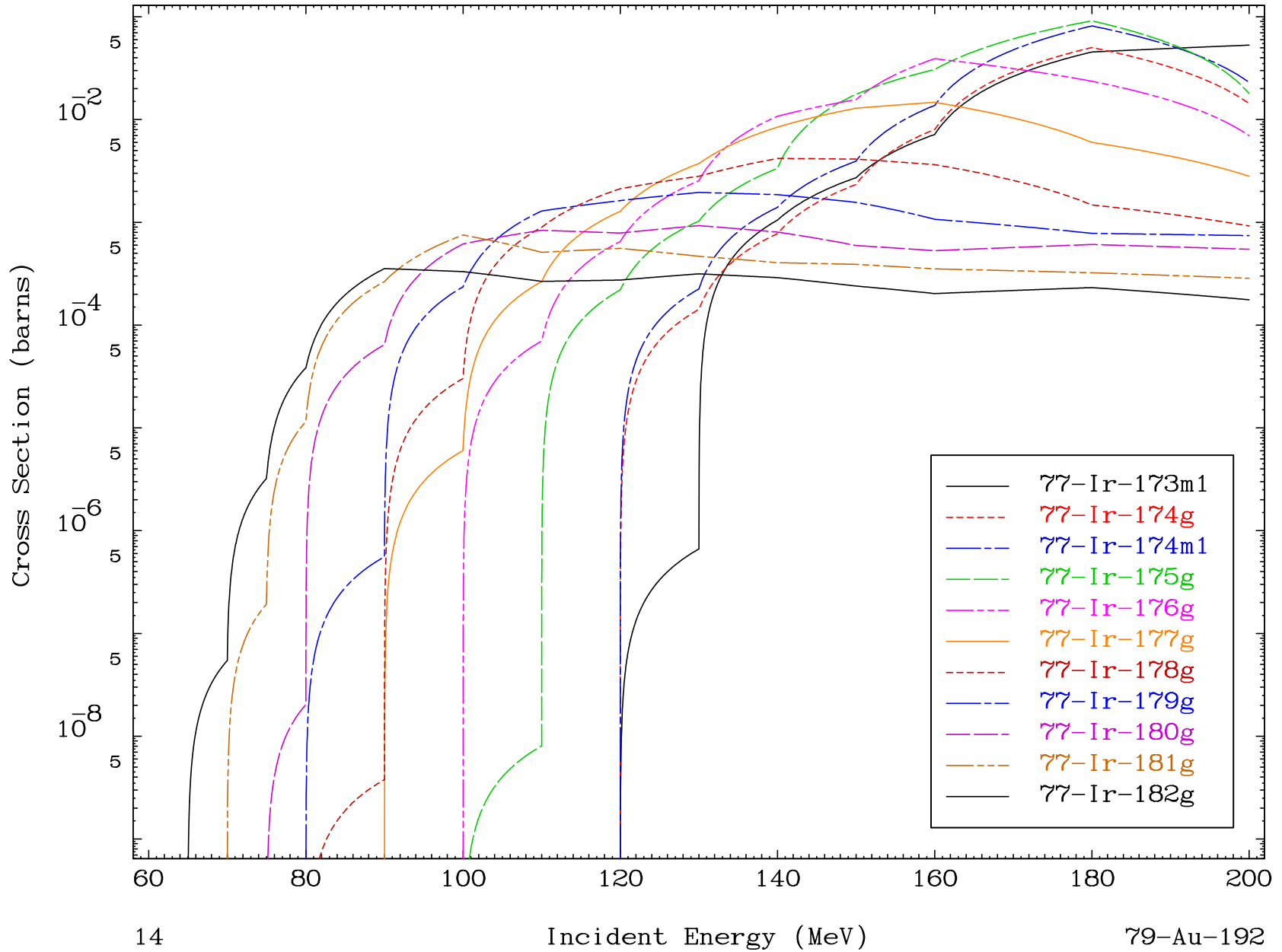
79-Au-192

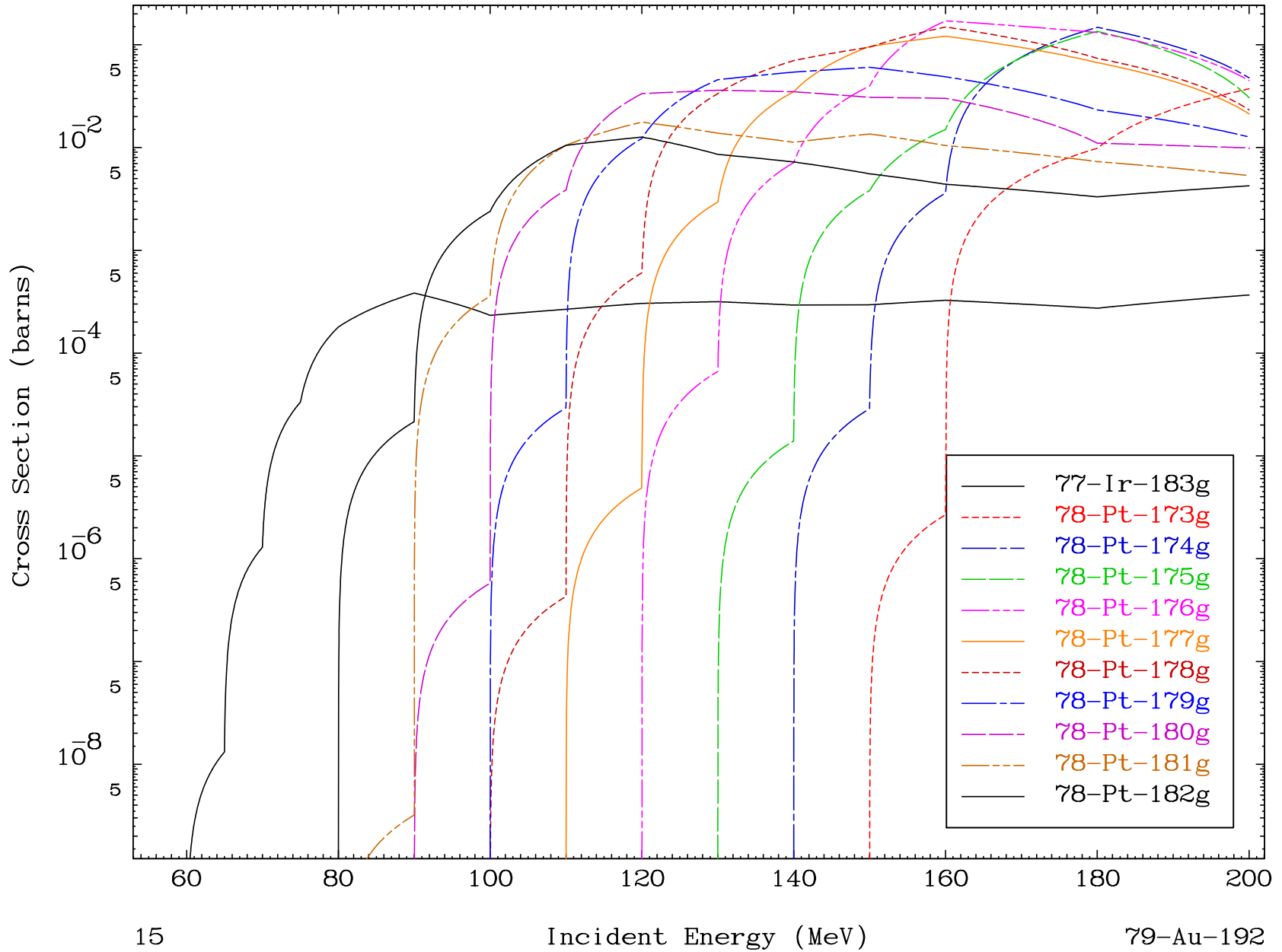
Radionuclide Production Cross Section

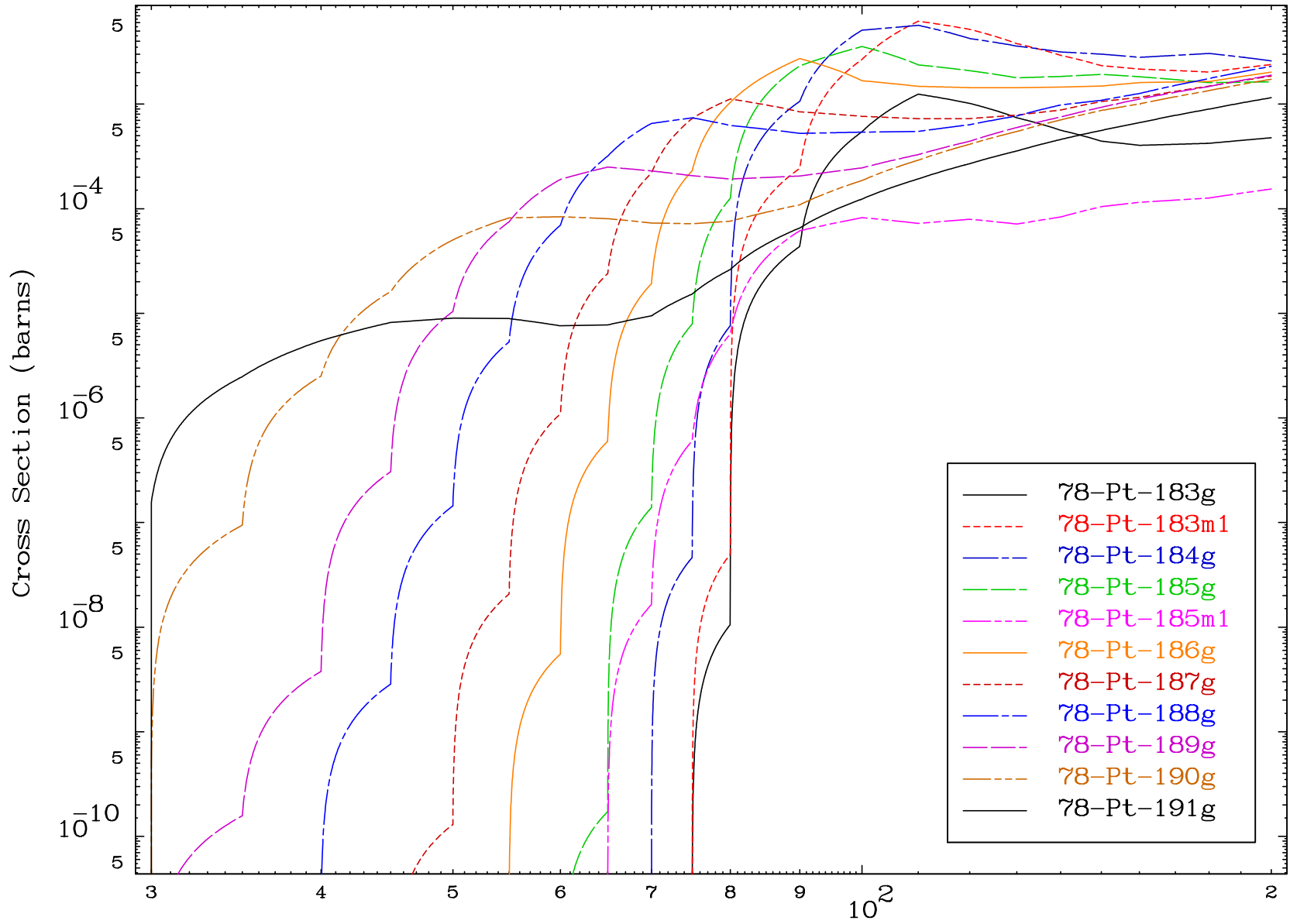


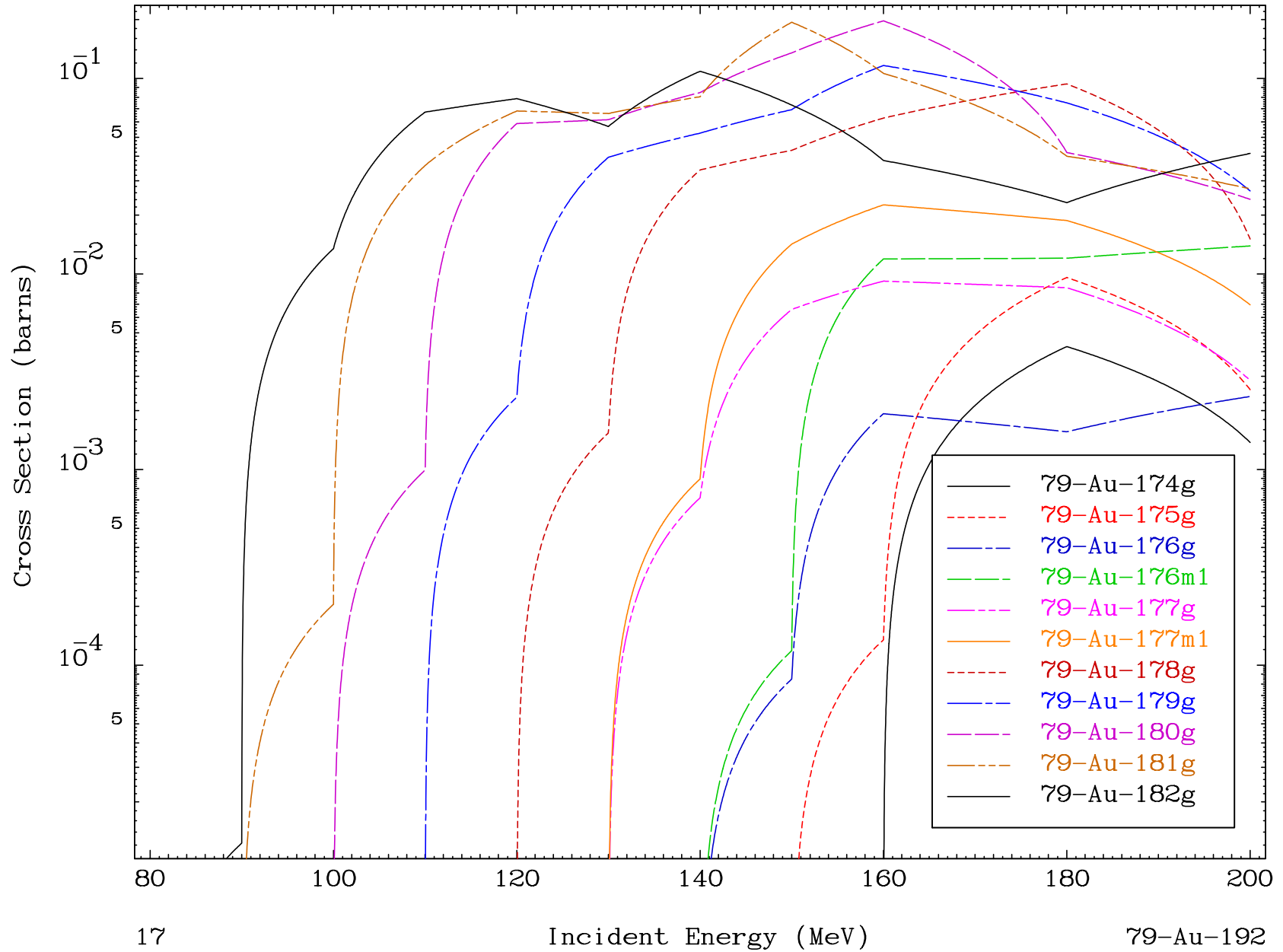


Radionuclide Production Cross Section

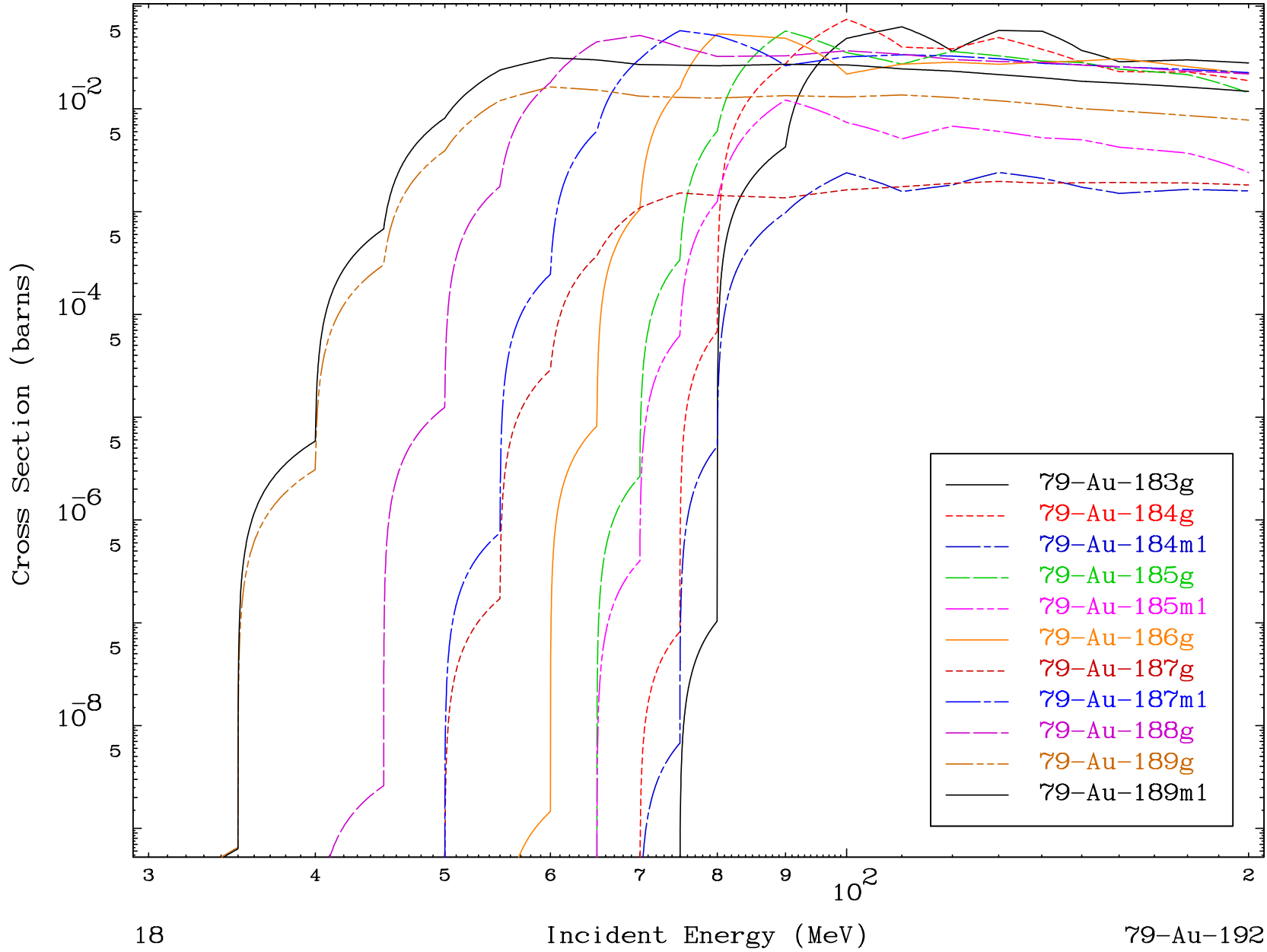








Radionuclide Production Cross Section

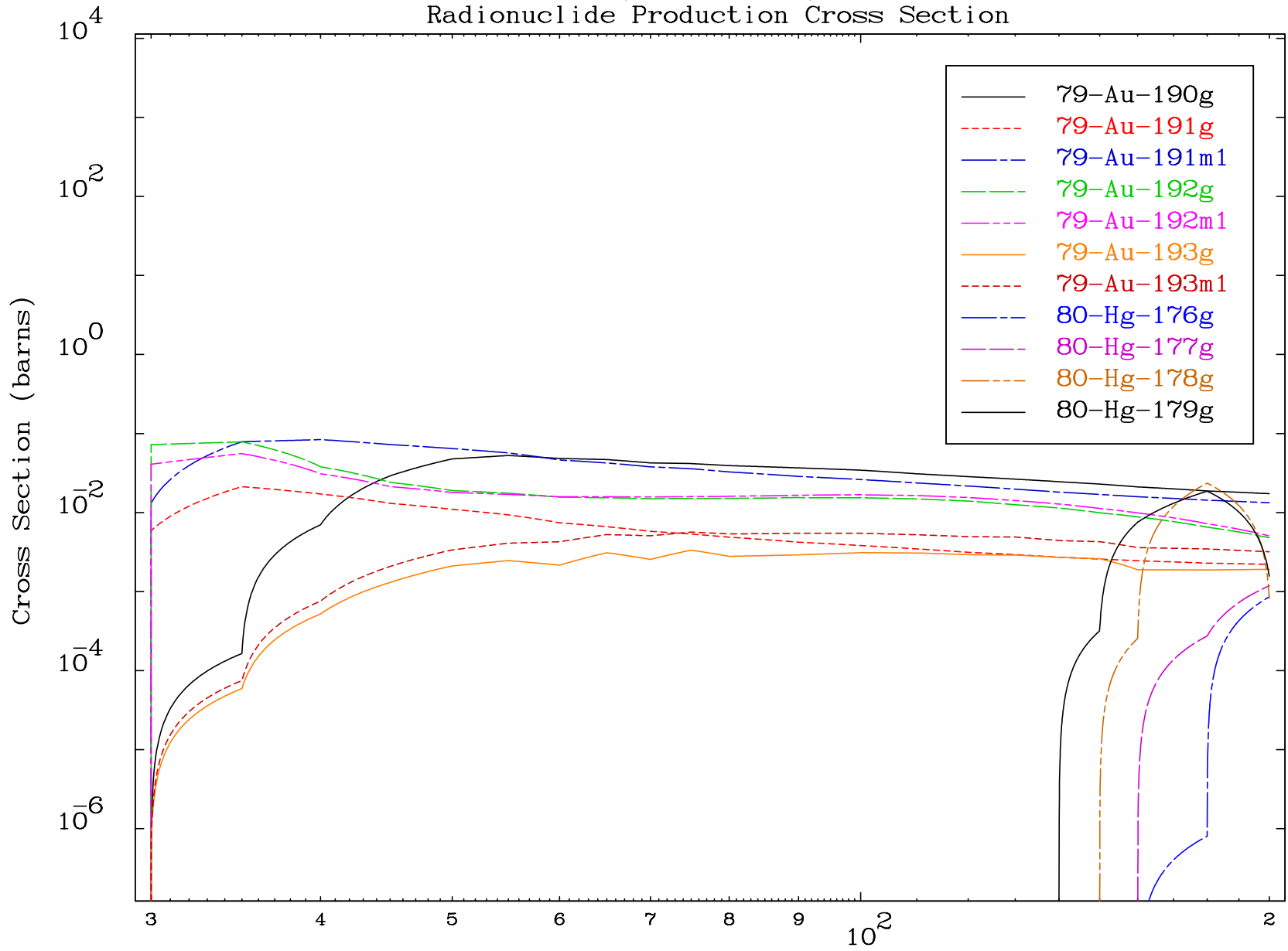


MAT 7910

(α , remainder)

79-Au-192

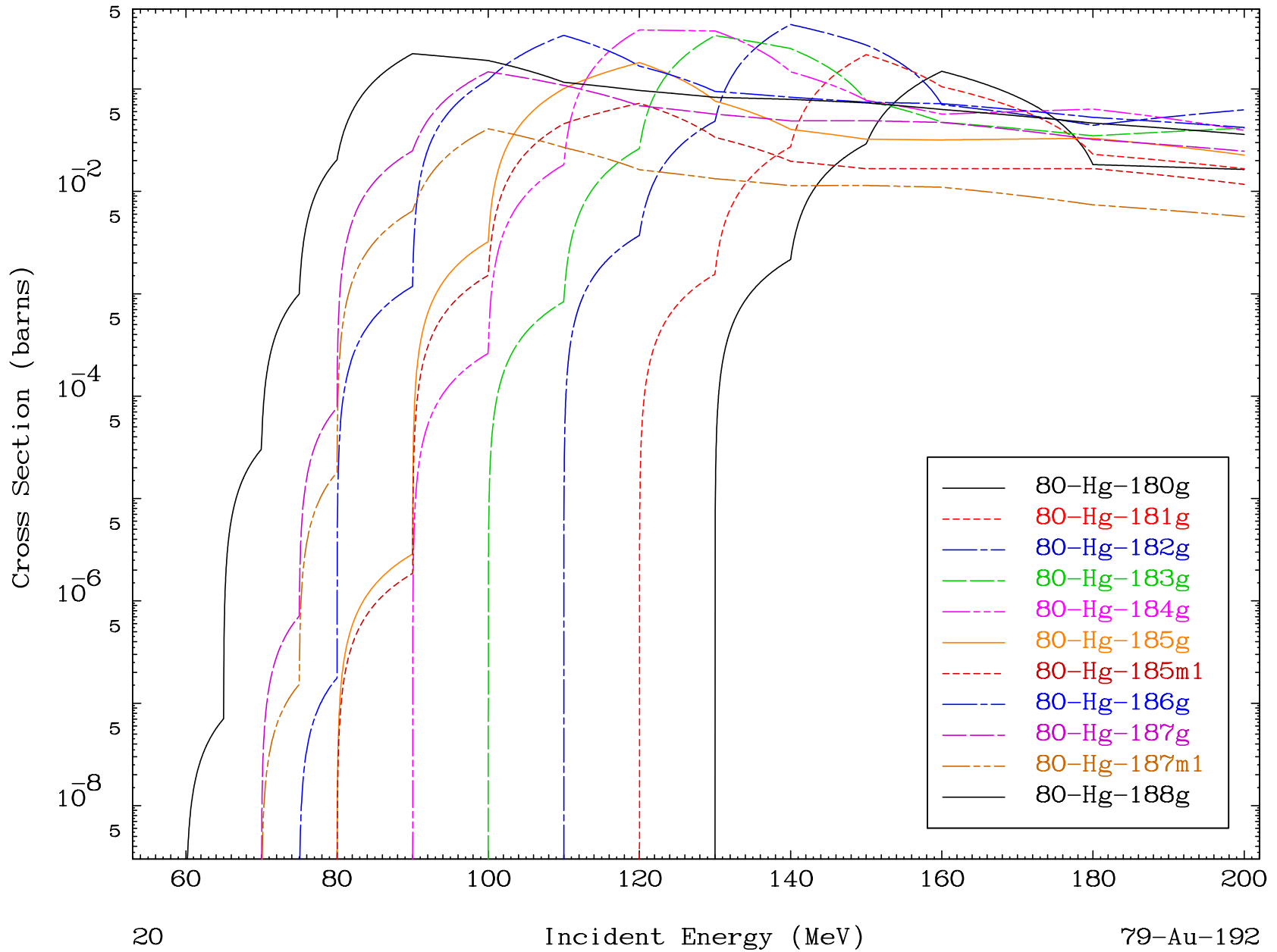
Radionuclide Production Cross Section



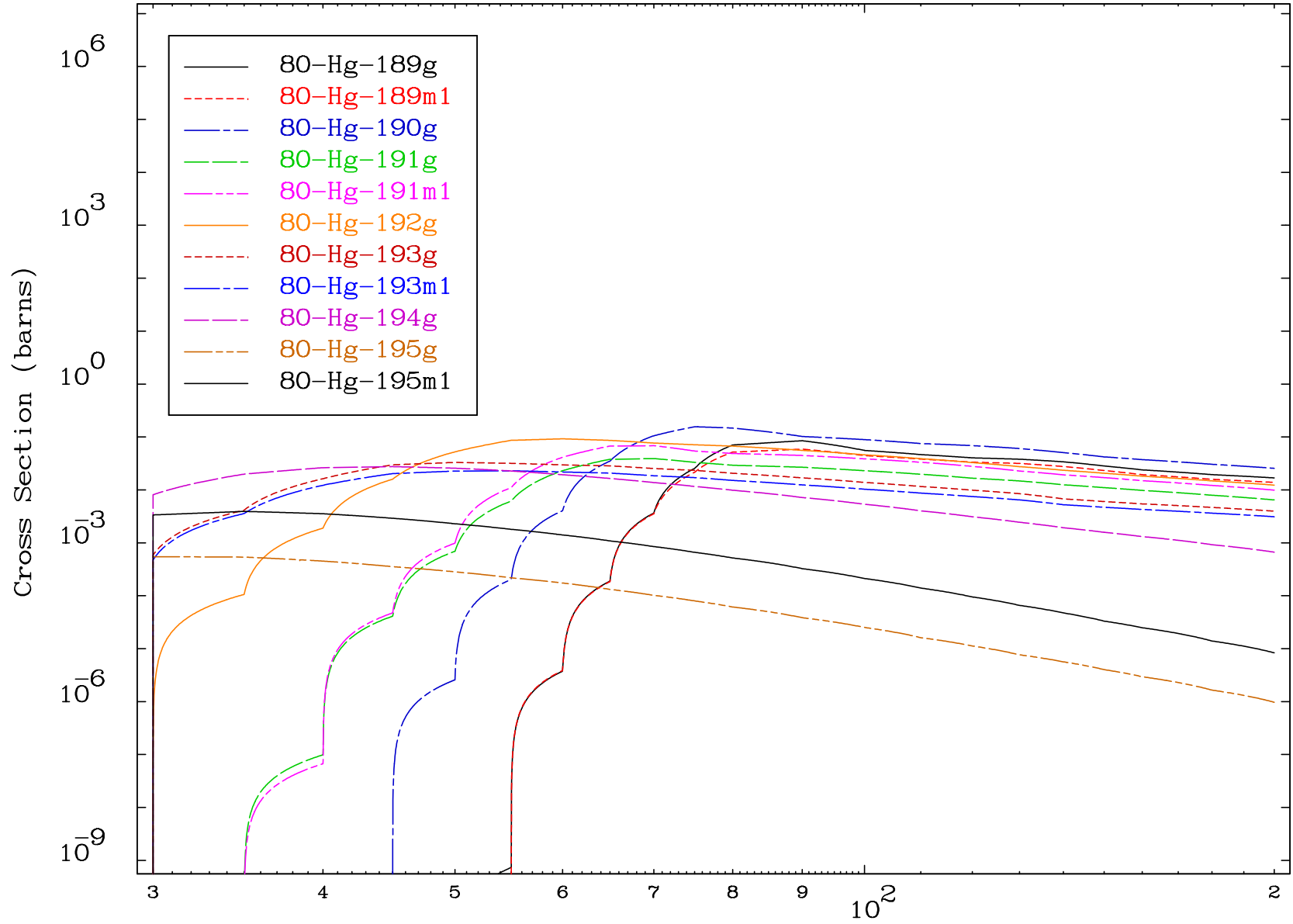
19

79-Au-192

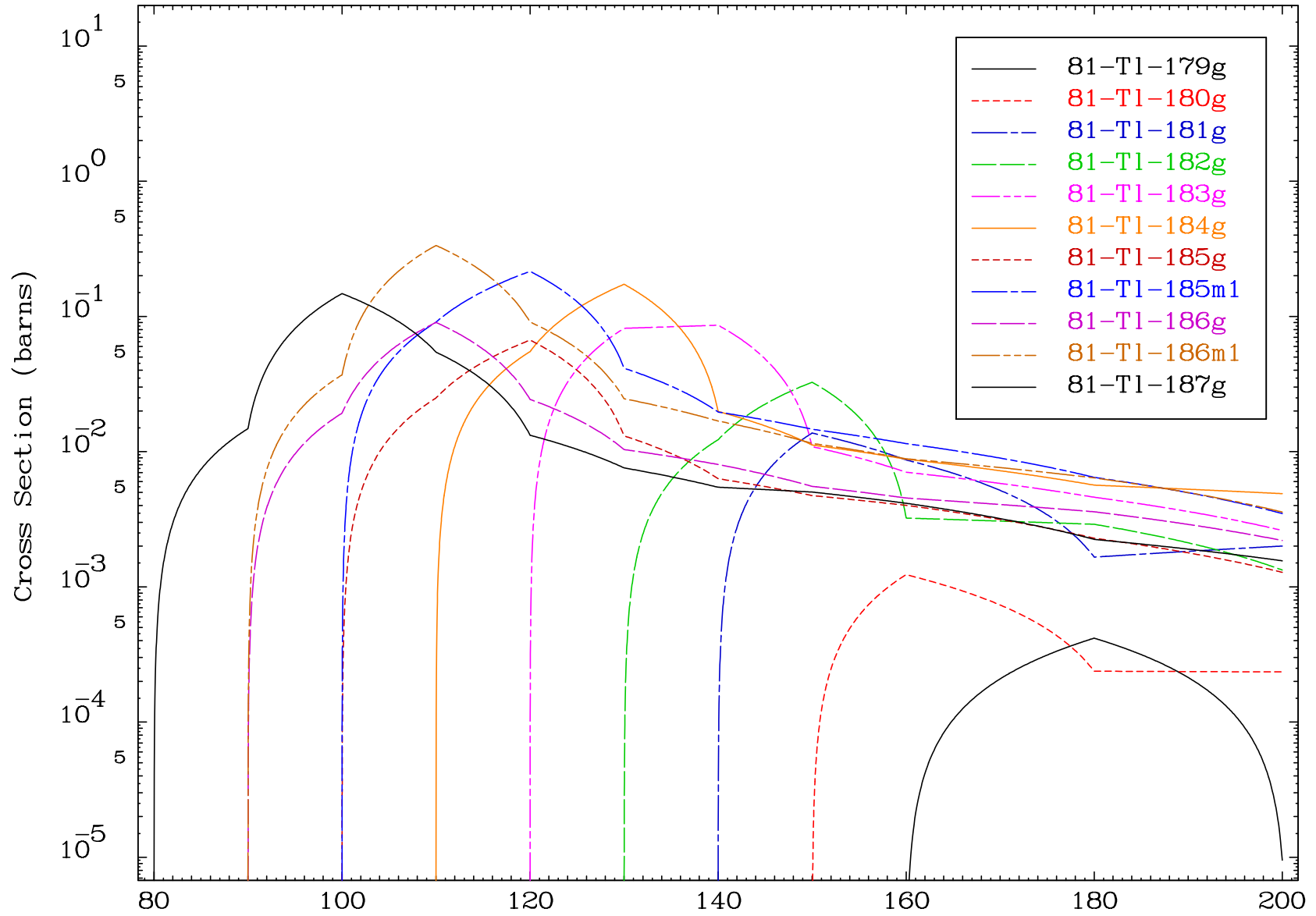
Radionuclide Production Cross Section

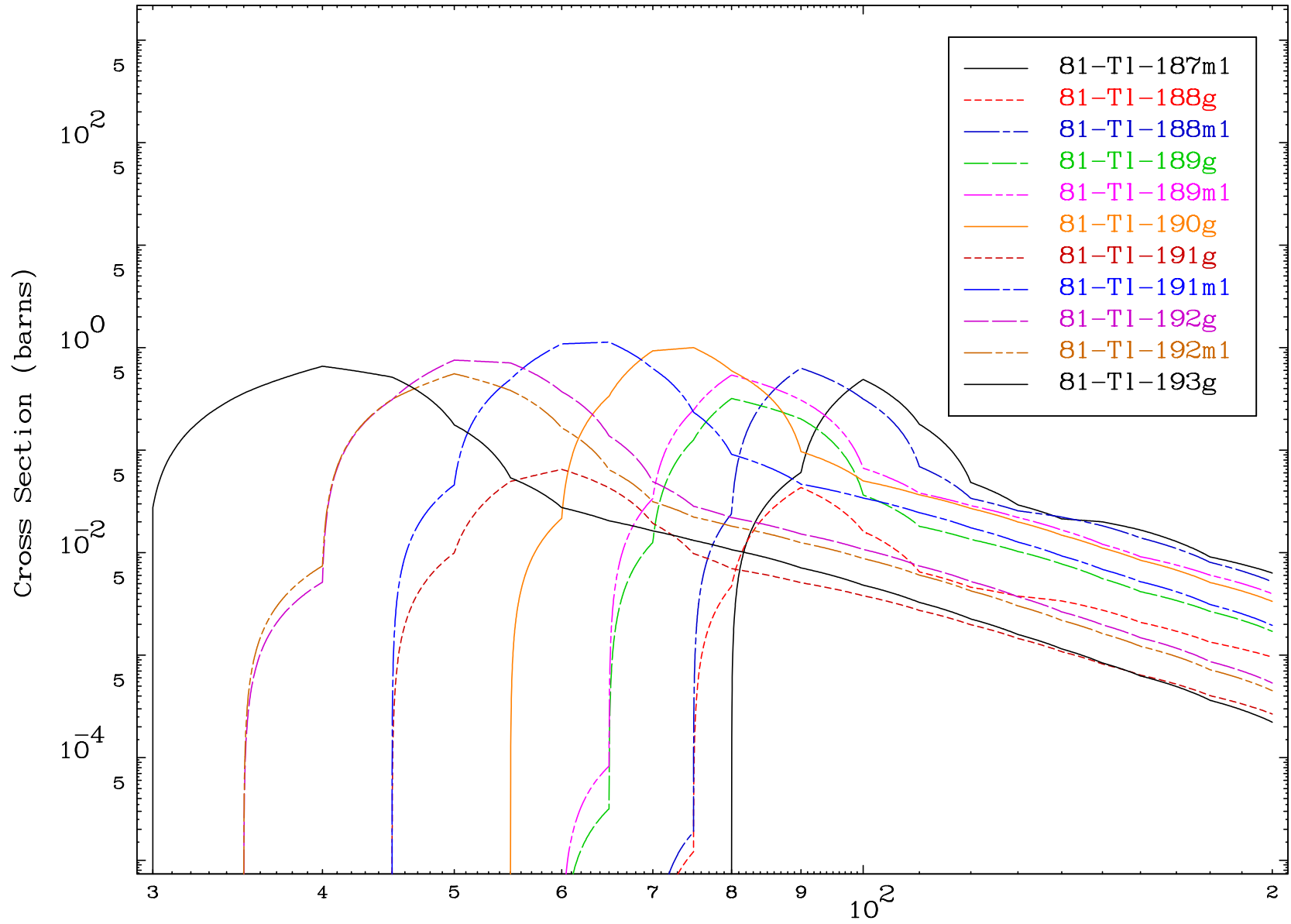


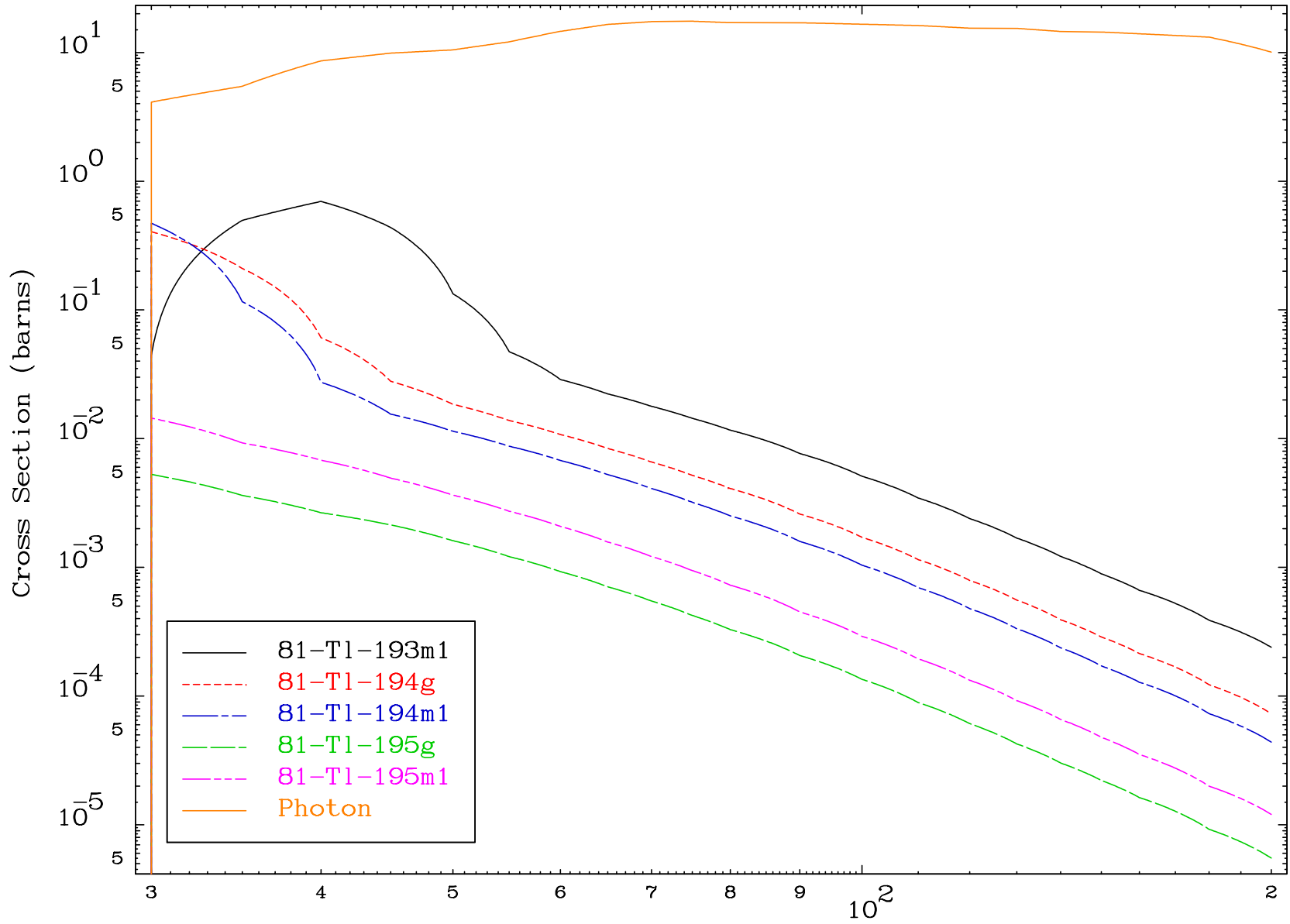
Radionuclide Production Cross Section



Radionuclide Production Cross Section





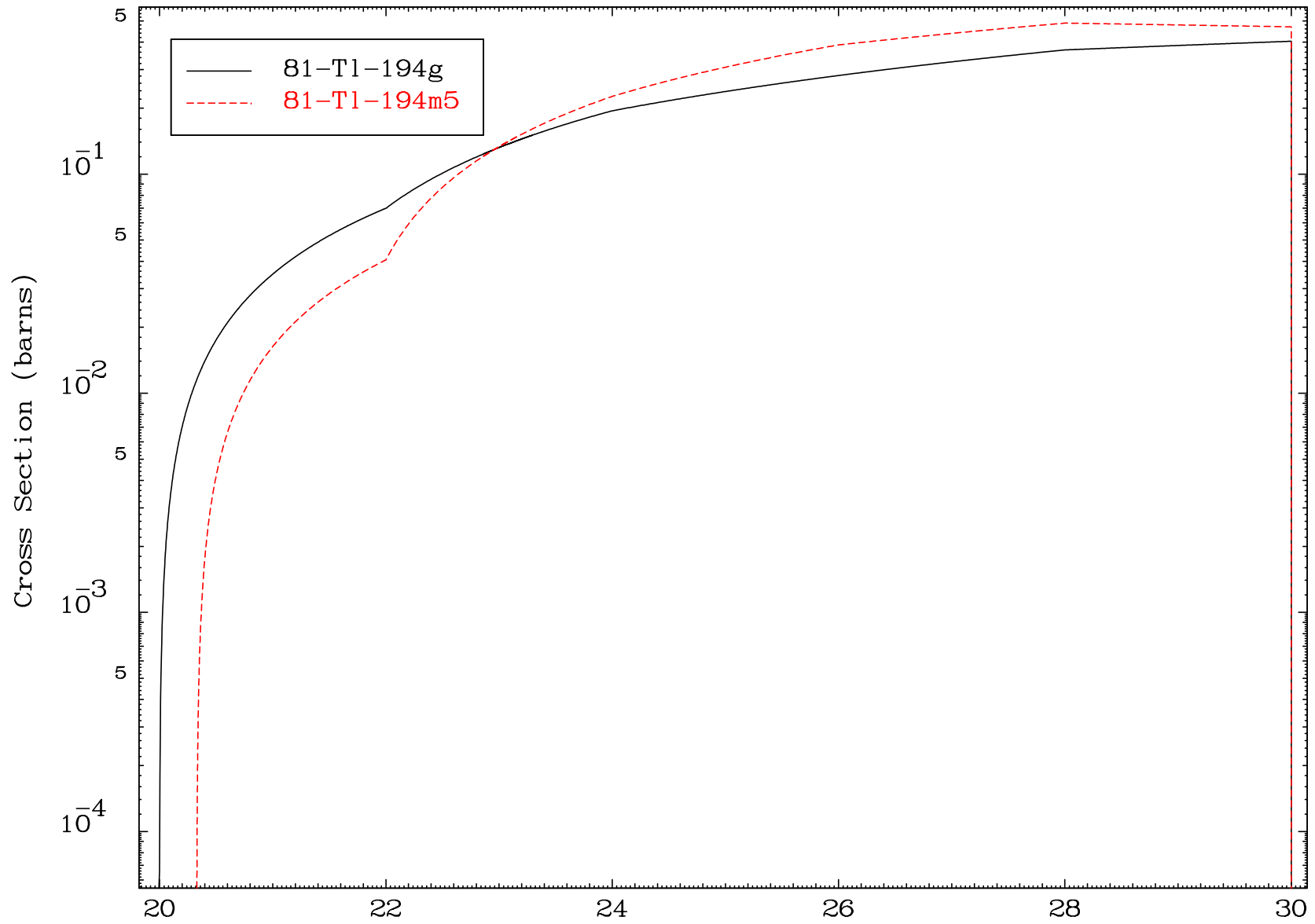


MAT 7910

($\alpha, 2n$)

79-Au-192

Radionuclide Production Cross Section

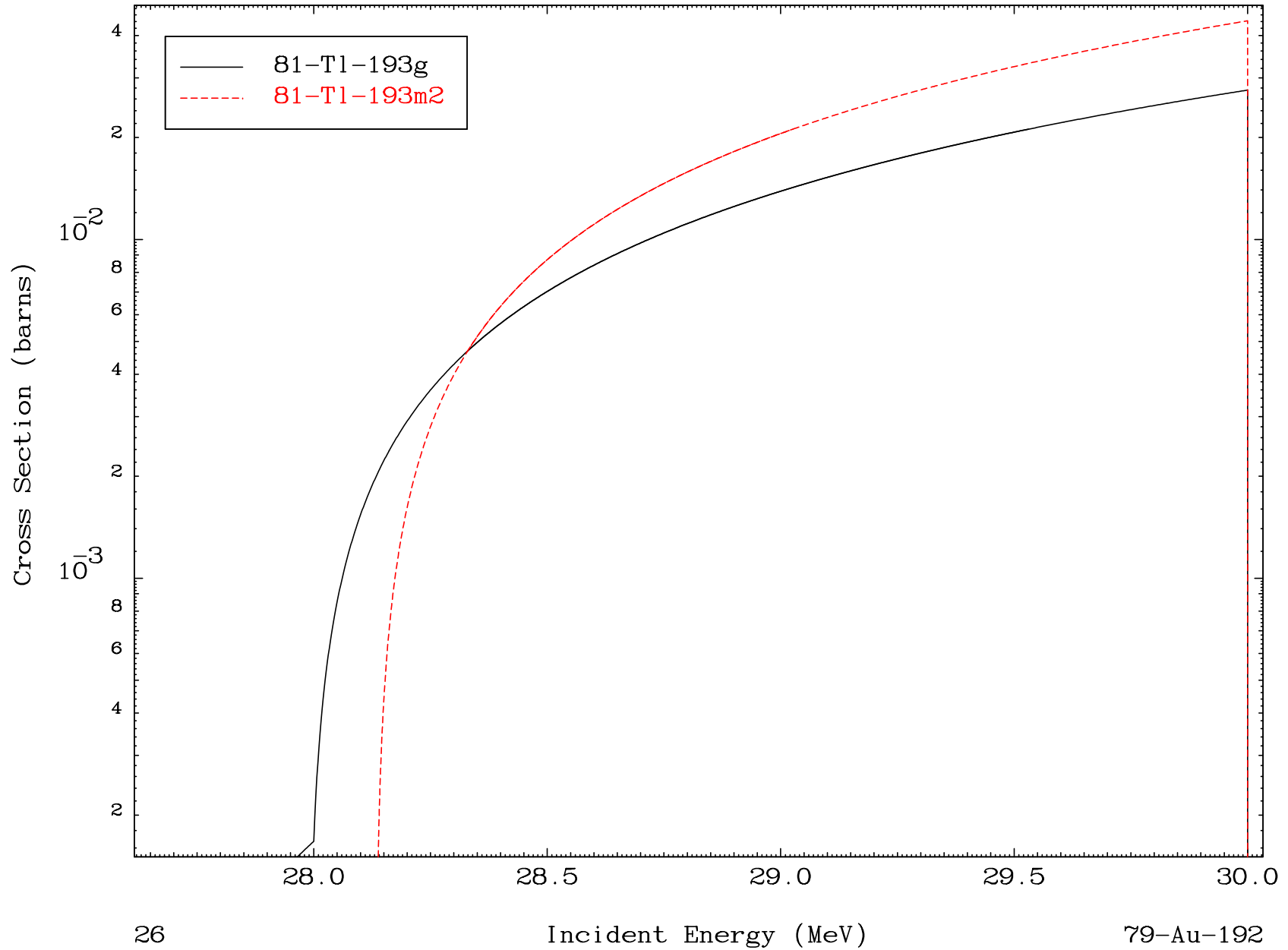


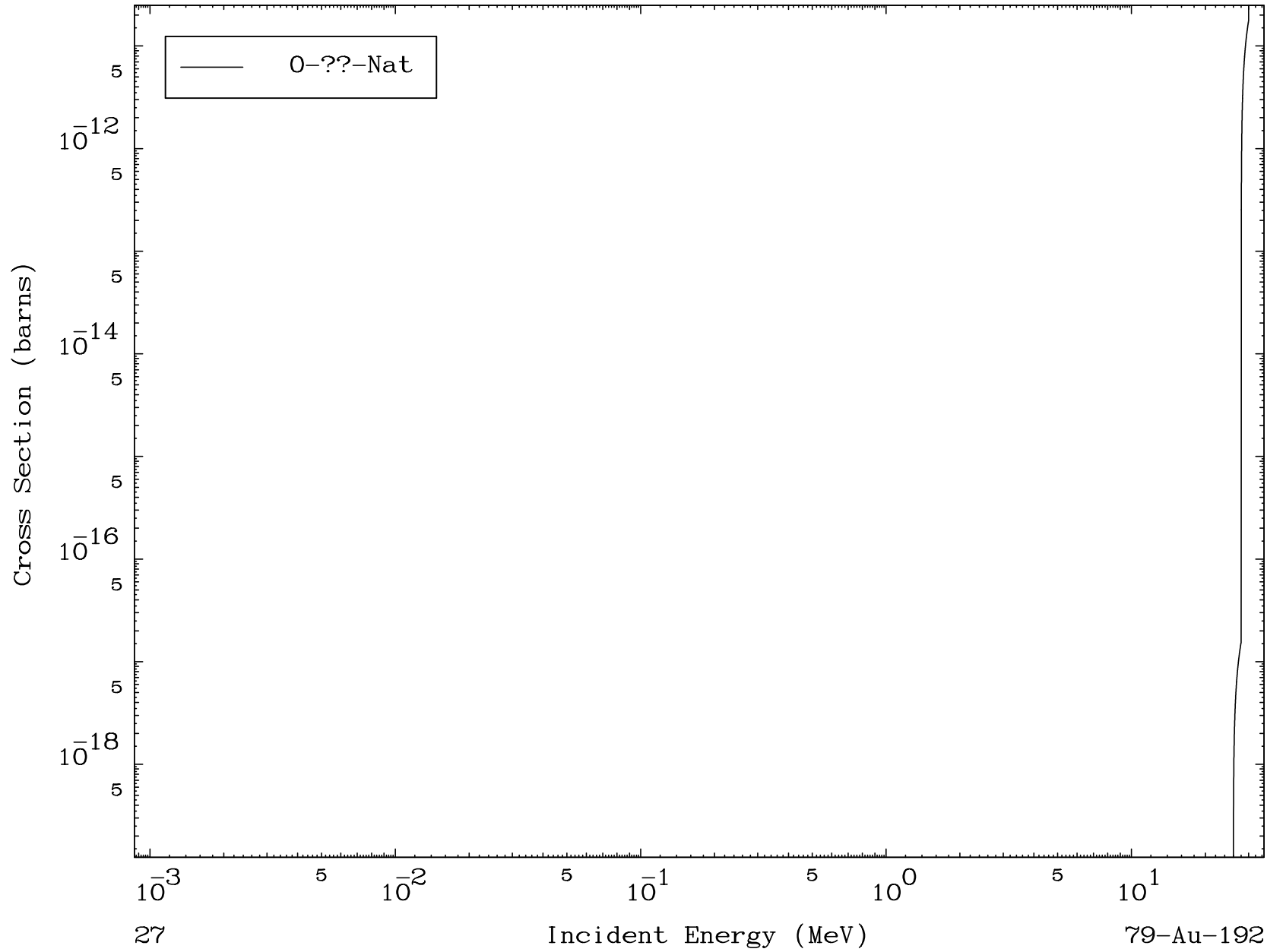
25

Incident Energy (MeV)

79-Au-192

Radionuclide Production Cross Section



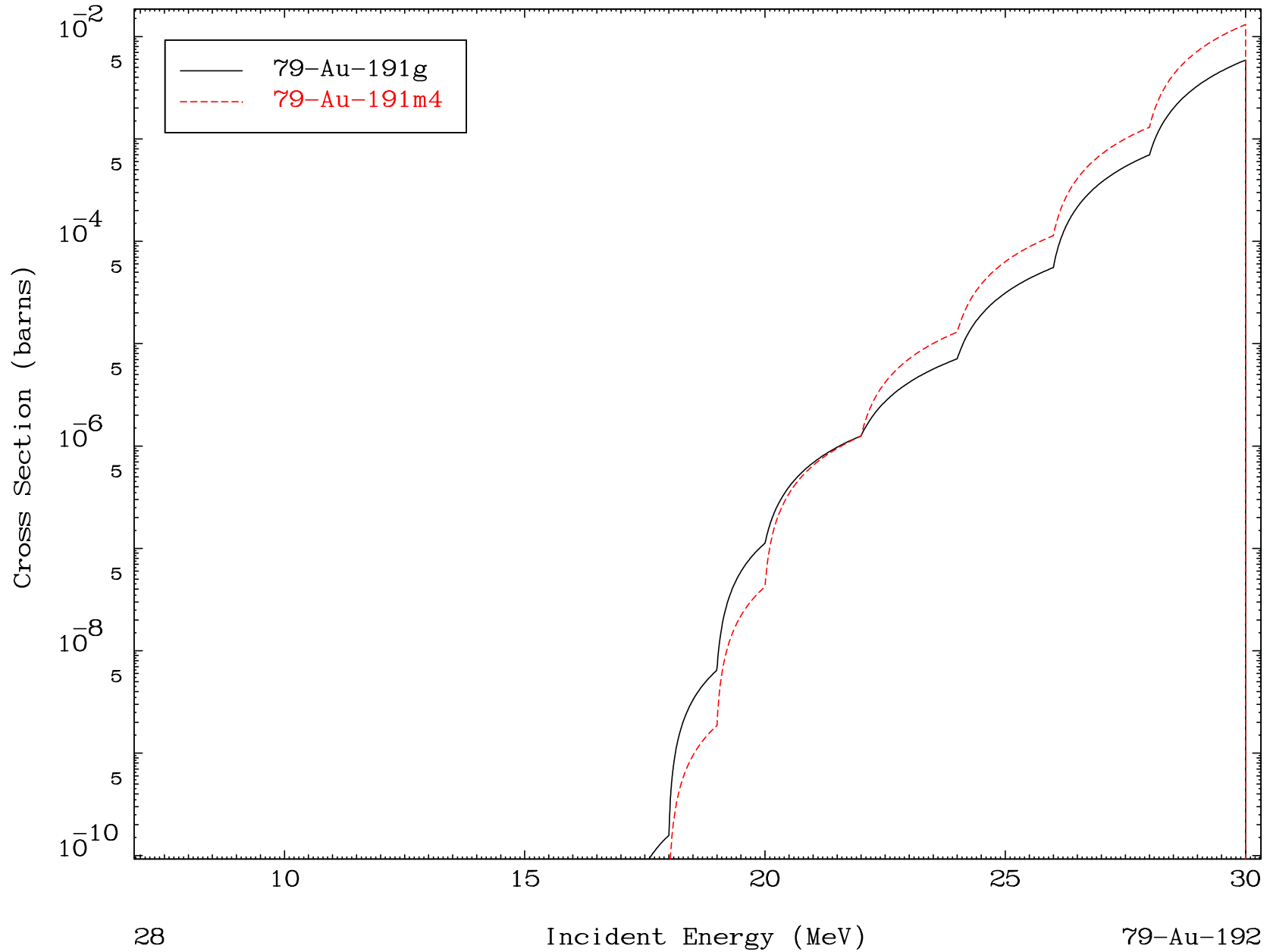


MAT 7910

(α, n') α

79-Au-192

Radionuclide Production Cross Section



28

Incident Energy (MeV)

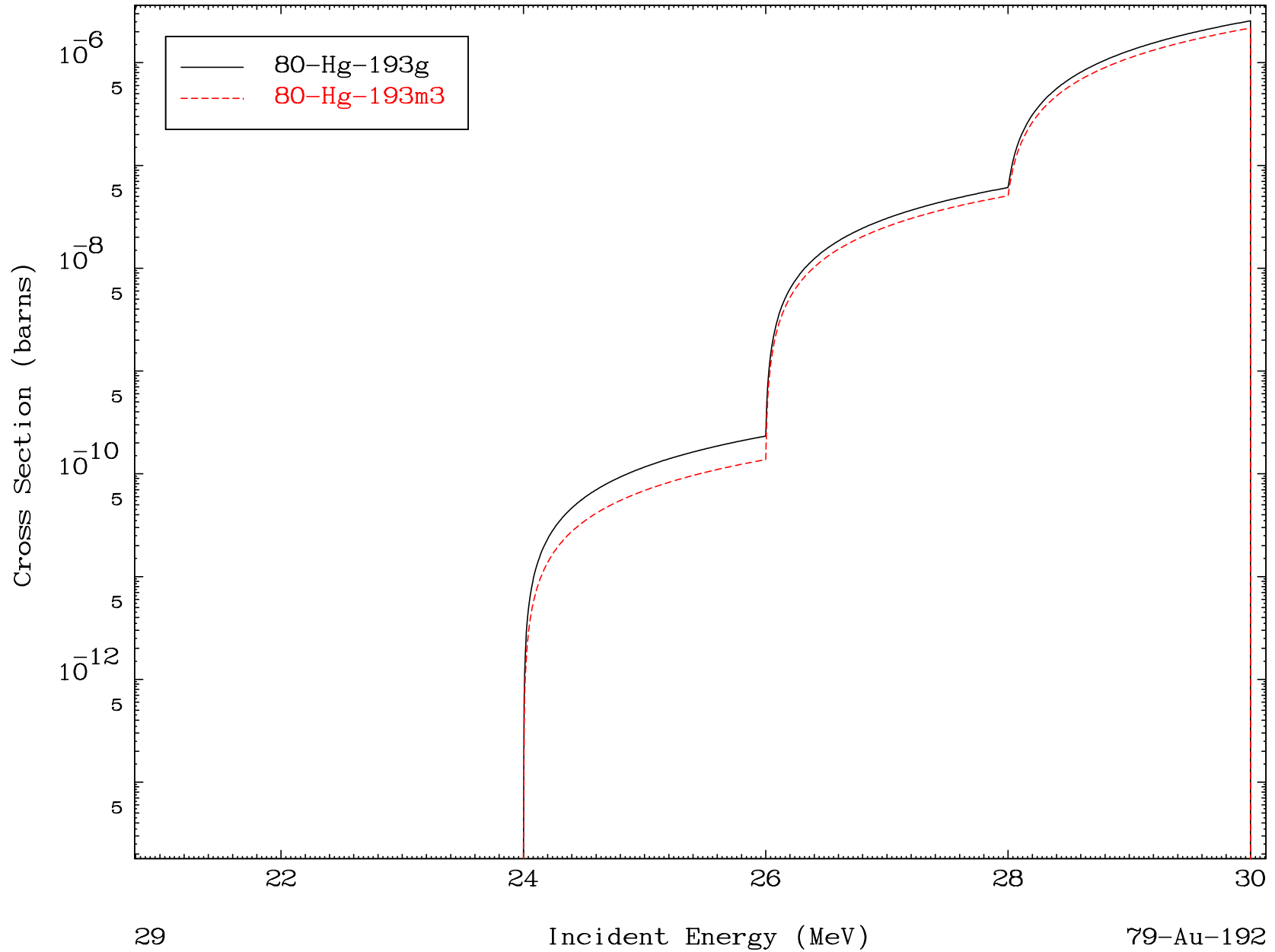
79-Au-192

MAT 7910

(α, n') d

79-Au-192

Radionuclide Production Cross Section

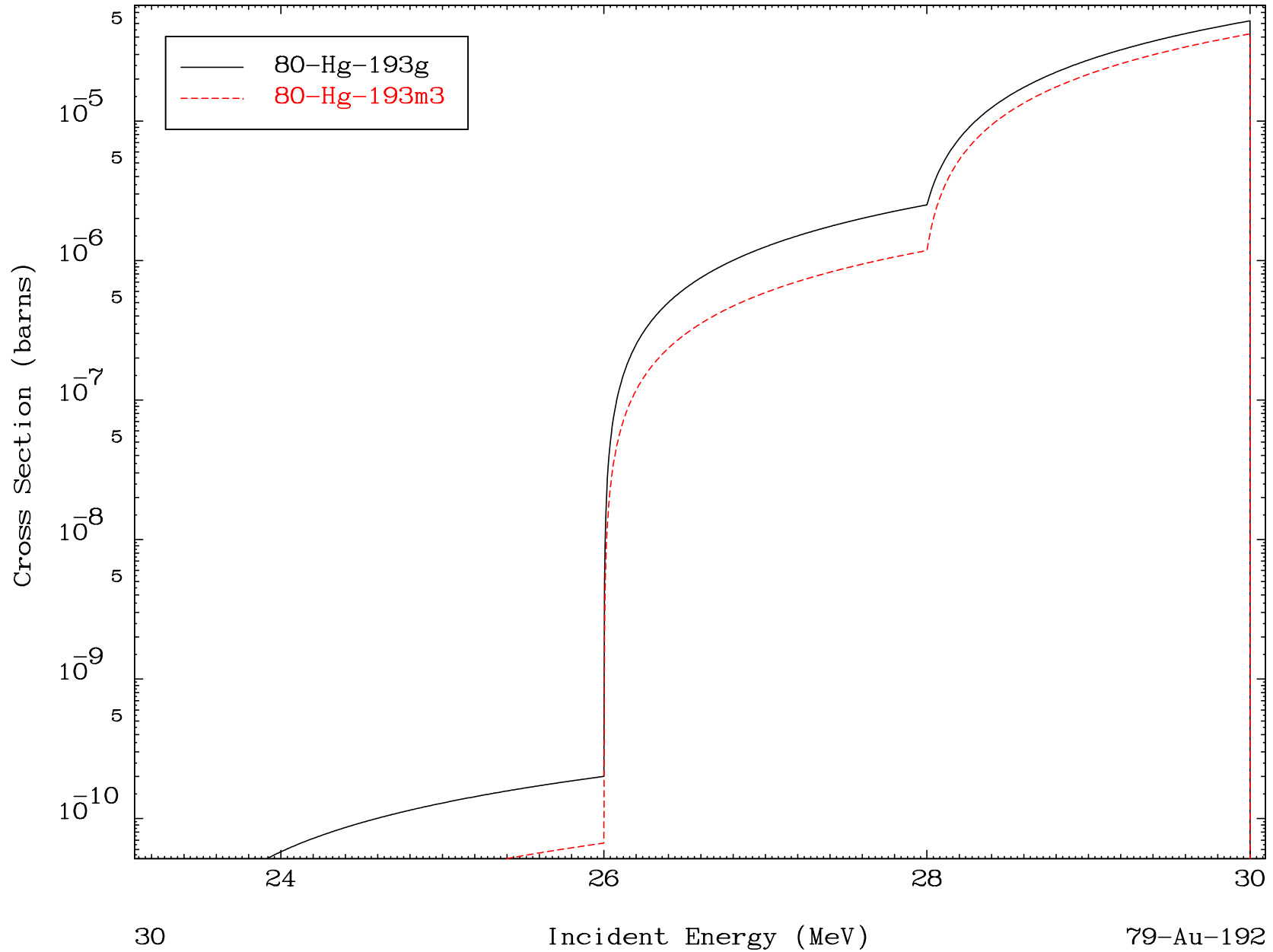


MAT 7910

($\alpha, 2n$) p

79-Au-192

Radionuclide Production Cross Section

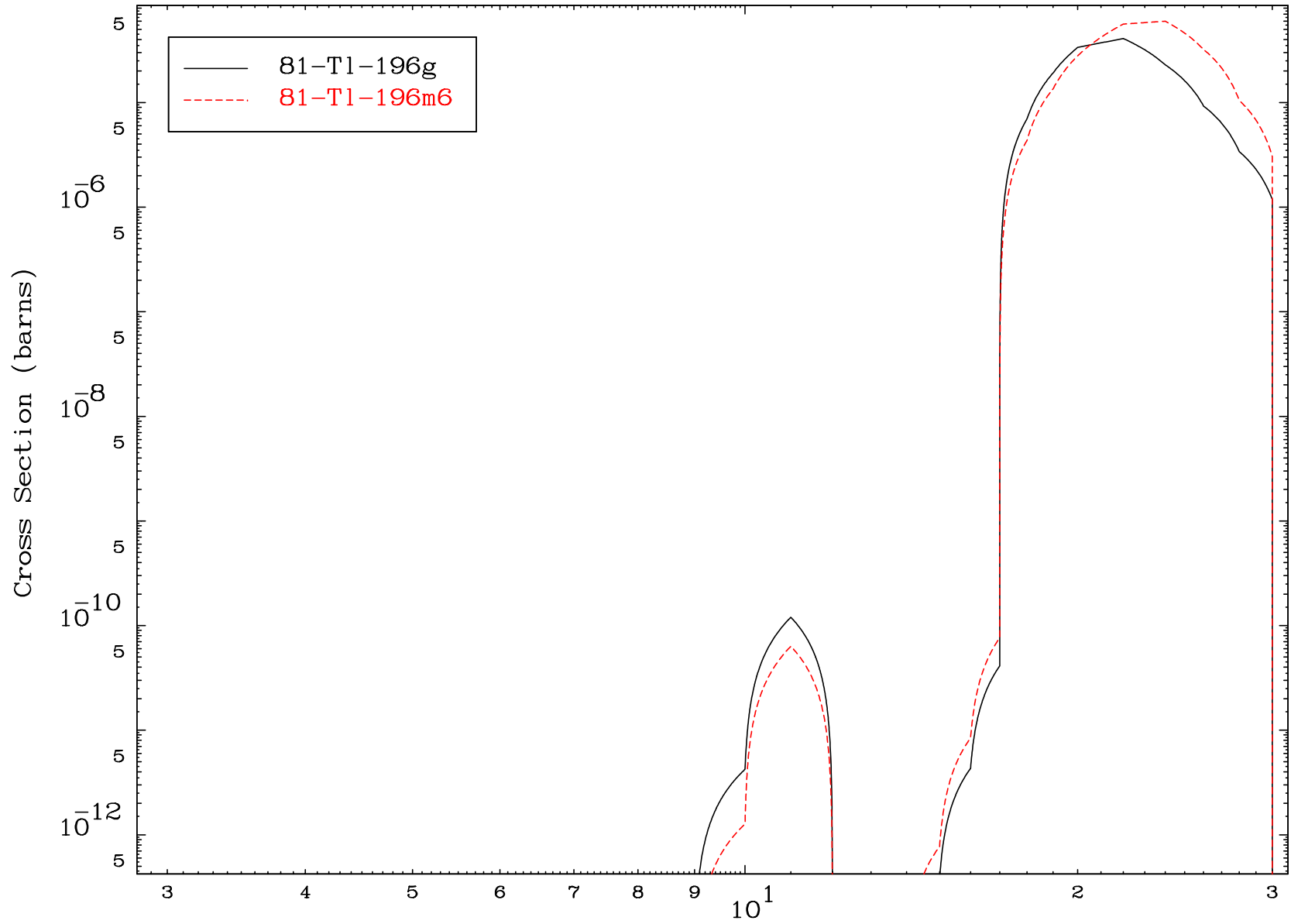


MAT 7910

(α, γ)

79-Au-192

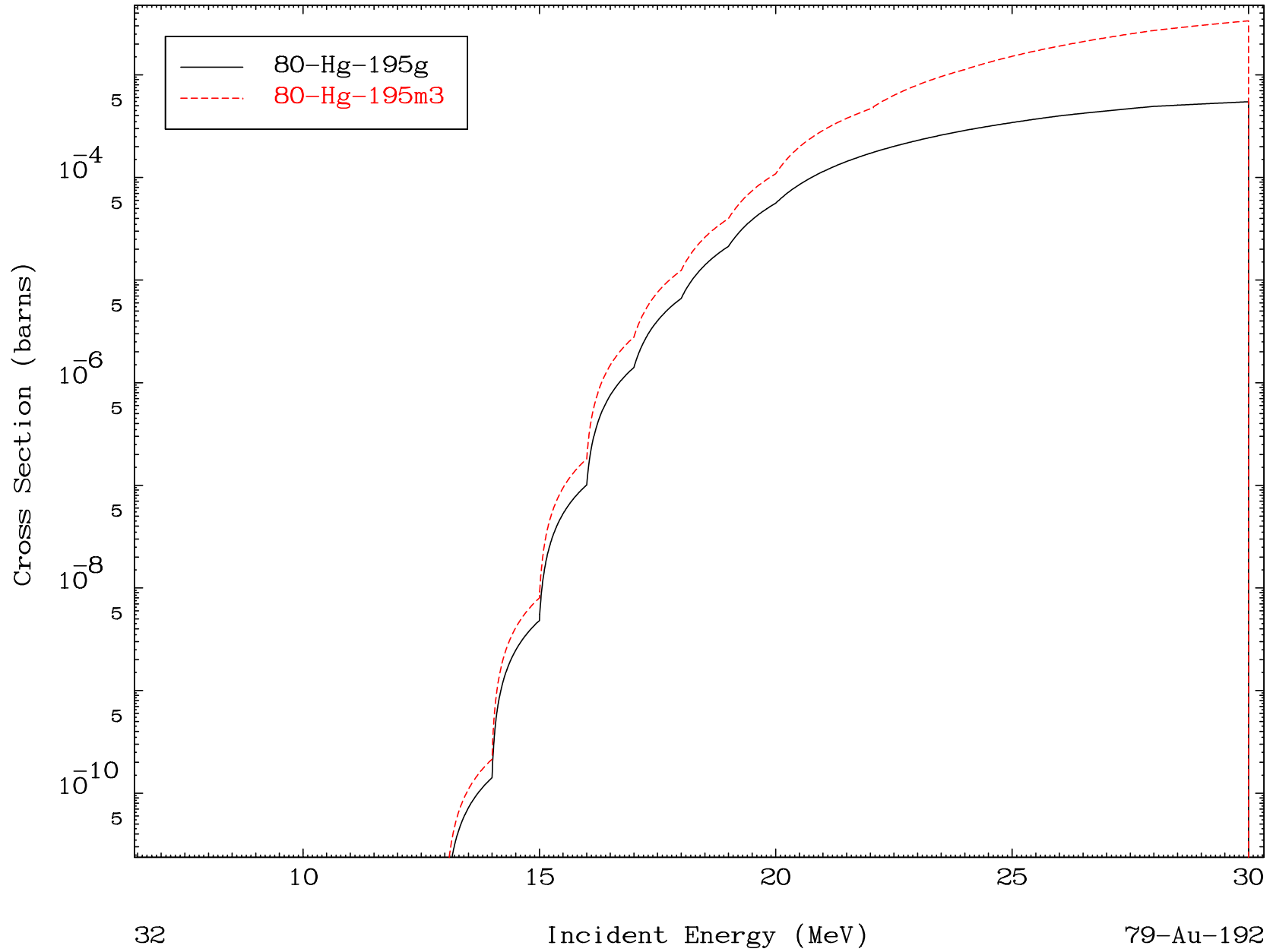
Radionuclide Production Cross Section



31

Incident Energy (MeV)

79-Au-192

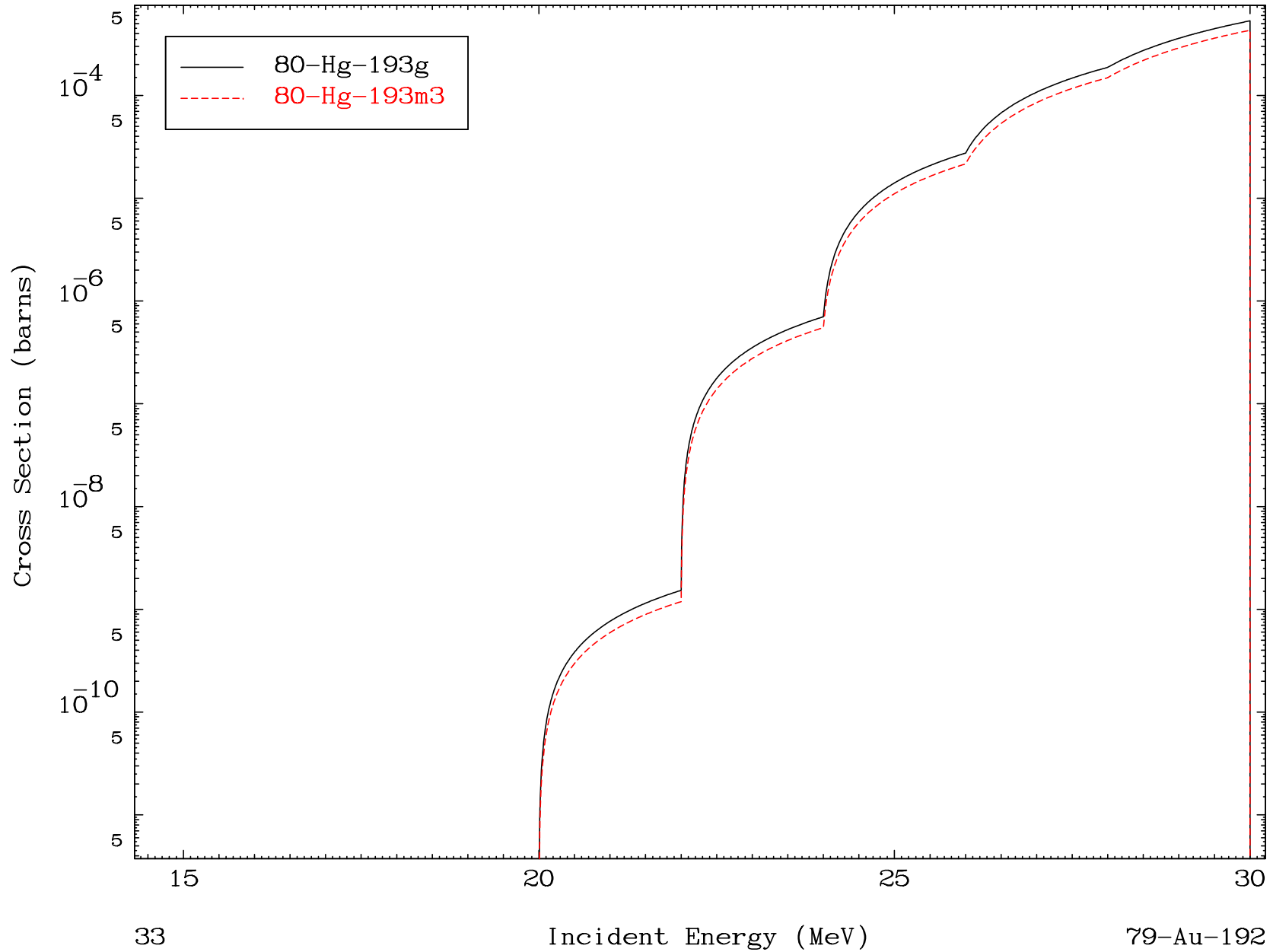


MAT 7910

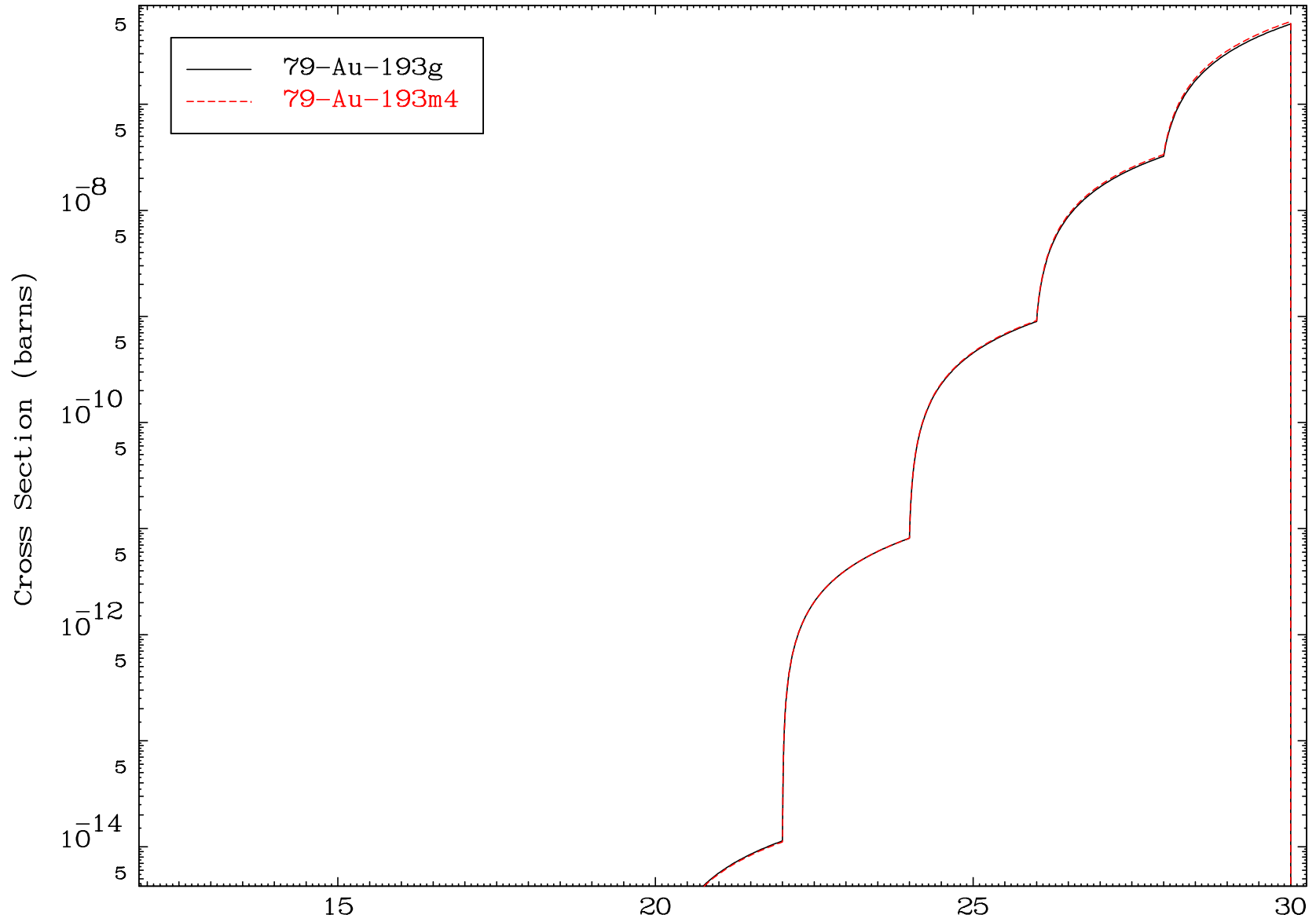
(α, t)

79-Au-192

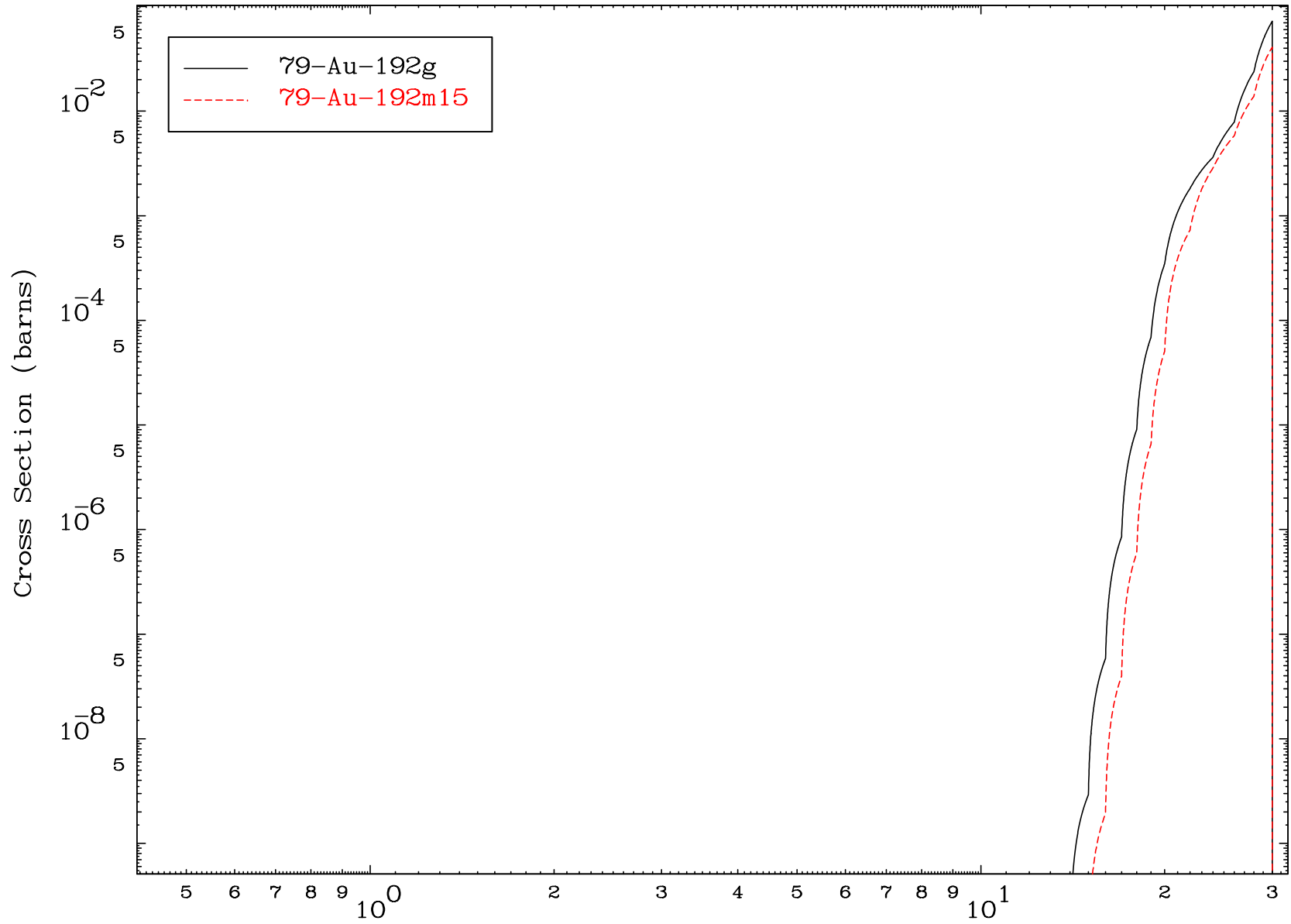
Radionuclide Production Cross Section



Radionuclide Production Cross Section



Radionuclide Production Cross Section



MAT 7910

($\alpha, 2p$)

79-Au-192

Radionuclide Production Cross Section

